Przetłaczanie jako następna operacja tłoczenia- zwiększenie wysokości kosztem zmniejszenia średnicy d

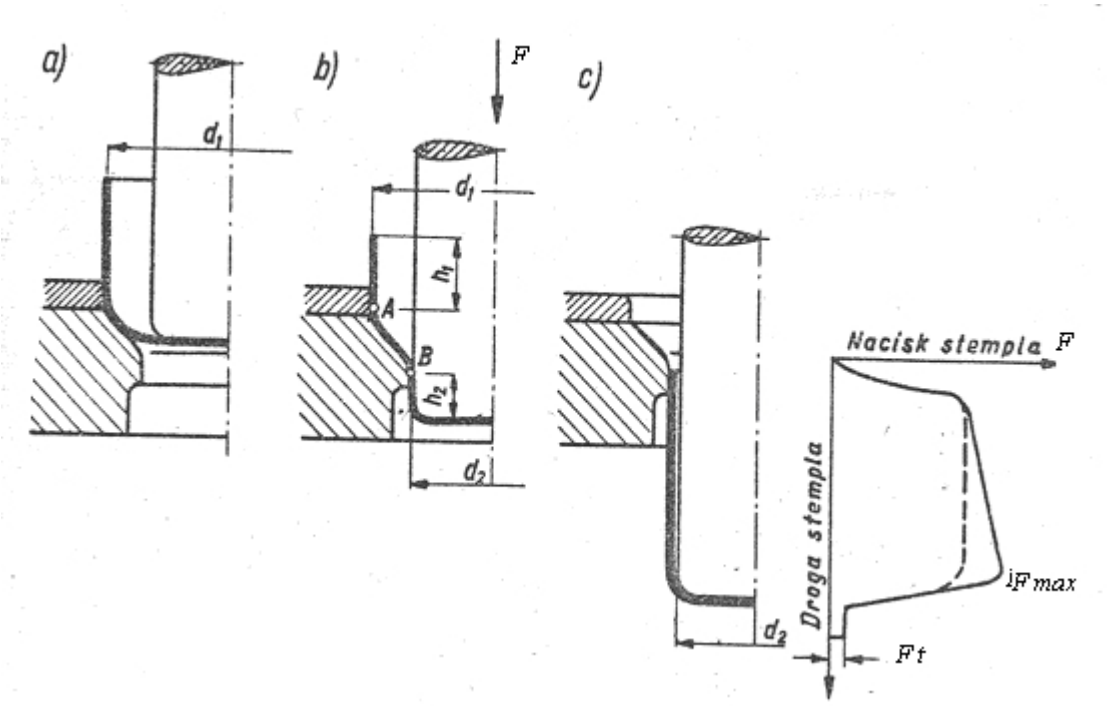
W procesach wytłaczania osiągaliśmy z reguły maksymalną wysokość wytłoczek rzędu około (0,7-0,8)d. W celu uzyskania wytłoczek o większej wysokości w stosunku do średnicy, należy wstępnie ukształtowaną wytłoczkę poddać następnej operacji zwanej przetłaczaniem.

Przebieg procesu przetłaczania zostanie rozpatrzony na przykładzie wykonania wytłoczki cylindrycznej (rys.7.1).

Pod wpływem nacisku wywieranego przez stempel na dno wytłoczki (rys.7.1a) swobodna jego część, przechodząc przez stożek matrycy o tworzącej AB (rys.7.1b), stopniowo przekształca się w ściankę pionową. Przebieg odkształcania dna jest zbliżony do procesu wytłaczania. Następnie przez stożek matrycy przechodzi część cylindryczna wytłoczki, zmniejszając swą średnicę z d1 do d2 (rys.7.1b). Odbywa się to pod wpływem promieniowych naprężeń rozciągających b_2 i obwodowych ściskających b_1 .Kształtowanie przebiega więc w sposób charakterystyczny dla procesów ciągnienia. Zmniejszanie bocznej średnicy ścianki wytłoczki zachodzi przy ustalonej geometrii warunków kształ-towania.

Obszar plastycznego płynięcia obejmuje bowiem jedynie stożek kształtujący i jest ograniczony punktami A i B. Pozostałe obszary wytłoczki są w stanie sprężystym. Jest to istotna różnica w stosunku do operacji wytłaczania, w której średnica zewnętrzna kołnierza kształtowanej wytłoczki ulega zmianie przez cały czas trwania procesu, a obszar uplastyczniony dochodzi do krawędzi kołnierza. Przebieg siły przetłaczania

zależy od tego, czy po operacji wytłaczania **zastosowano wyżarzanie rekrystalizujace,** czy też przetłaczaniu poddaje się wytłoczkę w stanie umocnionym. Dla pierwszego przypadku przebieg siły przedstawiono na (rys.7.1d), linią przerywaną. Na początku procesu występuje szybki wzrost siły. Po ustaleniu się warunków geometrycznych wartość siły przetłaczania powinna być stała. W rzeczywistości występuje jednak pewien jej wzrost, który jest spowodowany niejednakową grubością ścianki wytłoczki. Grubość ta jest najmniejsza w pobliżu, dna, a największa na obrzeżu.



Rys.7.1. Przetłaczanie swobodne: a) położenie wytłoczki na początku procesu, b) kształt wytłoczki podczas przetłaczania, c) zakończenie procesu, d) zależność między siłą przetłaczania a drogą stempla. [3]

Przebieg siły przetłaczania wytłoczki nie wyżarzonej pokazano na (rys.7.1d) linią ciągłą. W tym przypadku w poszczególnych fazach procesu siła ma znacznie większe, wartości, przy czym wzrost jej podczas zmiany średnicy ścianki bocznej jest szybszy niż dla wytłoczki wyżarzonej. Jest to spowodowane nie-jednakowym umocnieniem, materiału, wzdłuż ścianki, które wystąpiło podczas wytłaczania. Najmniejsze umocnienie

występuje przy dnie, największe zaś na obrzeżu.

Siła przetłaczania osiąga największą wartość pod koniec procesu. Po osiągnięciu maksimum siła szybko spada do wartości F_t (rys.7.1d),
potrzebnej do pokonania oporów tarcia obrzeża wytłoczki o cylindryczną ściankę otworu matrycy.

Opisany wyżej prawidłowy przebieg procesu przetłaczania może zostać zakłócony przez trzy bardzo niekorzystne zjawiska a mianowicie:

- rozerwanie wytłoczki siłą osiową wywieraną przez stempel-oderwanie dna,
- fałdowanie się ścianki wytłoczki, spowodowane nadmiernym utwardzeniem materiału,
- wzdłużne pękanie ścianki przy obrzeżu wytłoczki przyczyną których jest nadmierne umocnienie materiału w wyniku przekroczenia dopuszczalnej wielkości odkształcenia plastycznego na zimno dla tego typu operacji i danego materiału.

Rozerwanie wytłoczki siłą osiową.

Podobnie jak w procesie wytłaczania aby nie wystąpiło obwodowe pęknięcie wytłoczki, musi być spełniony warunek, że maksymalna siła występująca w procesie przetłaczania jest mniejsza od siły zrywającej:

$F_{max}<F_{zr}$

Przy czym : $F_{zr}R_m$ –siła zrywająca walcową ściankę wytłoczki.

Warunek jest spełniony wtedy, gdy stosunek średnicy wytłoczki po przetłoczeniu do średnicy przed procesem d_2/d_1 jest większy od pewnej wartości granicznej tzw. Granicznego współczynnika przetłaczania $(m_2)gr$.

Przy wielokrotnym powtarzaniu tego procesu tj. Pierwszego z

średnicy otrzymanej wytłoczki w procesie wytłaczania d_1 na d_2 (współczynnik przetłaczania m_2) a następnie przetłaczając na d_3, d_4 … d_n można otrzymać

wymaganą średnicę wyrobu. Dla każdej kolejnej operacji przetłaczania musi być spełniony warunek:

$$m_n = \frac{d_n}{d_{n-1}} > \left(\frac{d_n}{d_{n-1}}\right)_{gr},$$

wynikający ze wzrastającego oporu plastycznego ścianki wytłoczki(wywołanego umacnianiem materiału), podczas gdy materiał przy dnie wytłoczki jest prawie nie umocniony ze względu na małą wartość odkształcenia.

TABELA 7.1. Najmniejsze wartości współczynników m_n dla kolejnych operacji. [20]

$\frac{g}{D}\cdot 100$	2÷1	1÷0,3	0,3÷0,08
$m_2=\frac{d_2}{d_1}$	0,73÷0,76	0,76÷0,79	0,79÷0,82
$m_3=\frac{d_3}{d_2}$	0,76÷0,79	0,79÷0,81	0,81÷0,84
$m_4=\frac{d_4}{d_3}$	0,78÷0,81	0,81÷0,83	0,83÷0,86
$m_5=\frac{d_5}{d_4}$	0,80÷0,84	0,84÷0,86	O,86÷0,88

Fałdowanie ścianki bocznej.

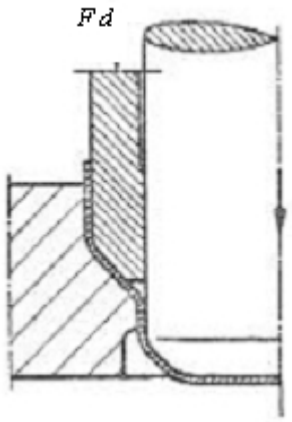
Przy przetłaczaniu ścianka boczna może w pewnych przypadkach ulec pofałdowaniu. Mechanizm tego zjawiska jest podobny jak przy wytłaczaniu. Powstawaniu fałd zapobiega się przez zastosowanie dociskacza (rys.7.2).

Stosowanie przetłaczania swobodnego lub z dociskaczem zależy od grubości ścianki wytłoczki w stosunku do średniej średnicy

wytłoczki przed przetłaczaniem.

Dla grubości ścianki g>0,015 stosuje się przetłaczanie swobodne.

Dla grubości ścianki g<0.01 stosuje się przetłaczanie z dociskaczem.



Rys. 7.2 . Przetłaczanie z dociskaczem. [19]

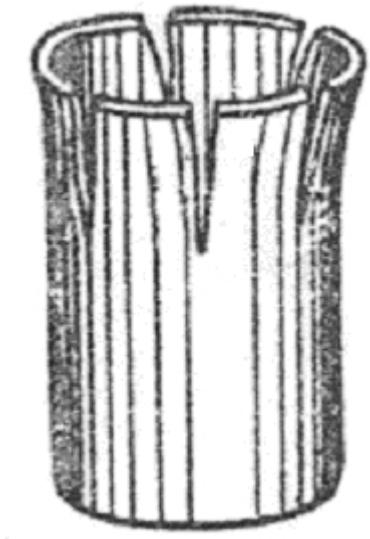
Wartość siły dociskającej F_d (rys.7.2) przy przetłaczaniu jest na ogół ustalana doświadczalnie. Zależy ona od kształtu matrycy, stosunku , rodzaju materiału i sposobu smarowania.

Pękanie obrzeża wytłoczki.

Wykonywanie większej ilości operacji przetłaczania, bez przeprowadzenia obróbki wyżarzania zmiękczającego, w niektórych przypadkach jest niemożliwe, ze względu na zjawisko utraty własności plastycznych przez materiał. Powoduje to wzdłużne pękanie obrzeża wytłoczki w czasie przetłaczania (rys.7.3). Ścisłe określenie dopuszczalnej ilości operacji bez prób jest trudne, ponieważ zależy ono od rodzaju i stanu materiału, konstrukcji i stanu powierzchni narzędzi oraz smarowania.

Na ogół czynnikiem zasadniczym jest jednak rodzaj materiału i wielkość odkształcenia.

Rys.7.3. Wzdłużne pękniecie ścianki bocznej. [7]

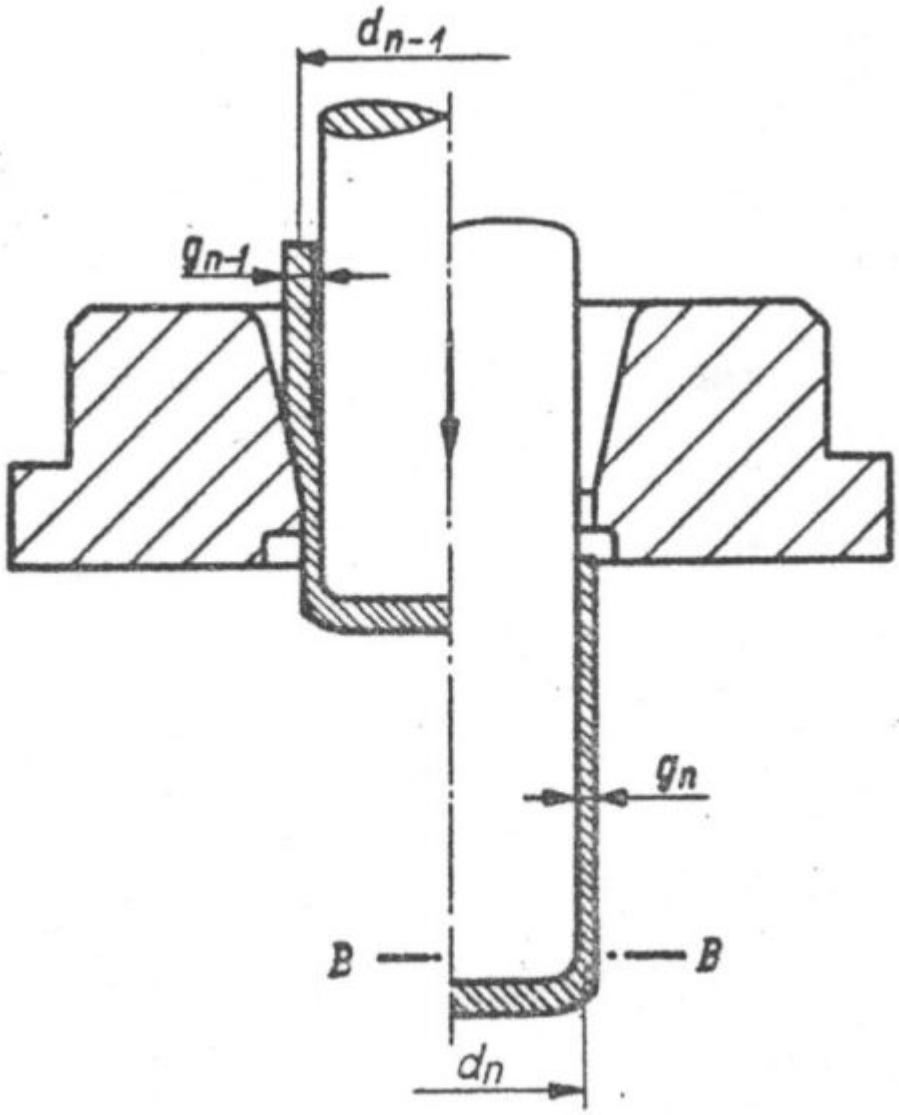


Wyciąganie jako kolejna metoda przetłaczania.

Proces wyciągania prowadzi się z reguły po zakończeniu operacji wytłaczania i przetłaczania bez pocienienia ścianek oraz po wyrównaniu obrzeża wytłoczki i wyżarzeniu rekrystalizującym.

Wyciąganie polega na zwiększeniu wysokości wytłoczki przez zmniejszenie grubości jej ścianki , przy czym wewnętrzna średnica wytłoczki nie ulega zazwyczaj zmianie.

Rys.7.4. Wyciąganie. [19]



Operacje wyciągania przeprowadza się na tłocznikach (rys.7.4), dla których szczelina między ścianką otworu pierścienia ciągowego a stemplem, równa końcowej grubości ścianki g_n , jest mniejsza od początkowej grubości ścianki g_{n-1} .

Podobnie jak przy przetłaczaniu , maksymalne zmniejszenie grubości ścianki , możliwe do uzyskania w jednej operacji wyciągania, jest ograniczone możliwością rozerwania wytłoczki , gdy siła osiowa wywierana przez stempel na dno wytłoczki przekracza wytrzymałość jej walcowych ścianek.

W procesie wyciągania, na dno wytłoczki działa tylko część całkowitej siły wywieranej przez stempel . Pozostała część siły przenoszona jest na skutek tarcia stempla bezpośrednio na

wewnętrzną powierzchnię walcowych ścianek wytłoczki w obszarze odkształcenia plastycznego . Na skutek tego całkowity nacisk stempla może nawet znacznie przekraczać wytrzymałość wytłoczki na rozciąganie w najsłabszym przekroju B-B, leżącym w pobliżu dna (rys. 7.4). Stwarza to możliwość większego wydłużenia wytłoczki w jednej operacji wyciągania niż jest to możliwe w operacji przetłaczania.

W pewnych przypadkach można połączyć wytłaczanie z jednoczesnym pocienieniem ścianki. Odkształcenie określa się wówczas, biorąc za A_0 powierzchnię boczną krążka ($A_0 = g_0$).

TABELA 7.3 Zestawienie największych odkształceń, jakie można uzyskać w operacji wytłaczania w połączeniu z wyciąganiem, lub przy samym wyciąganiu (dla różnych materiałów) . [4]

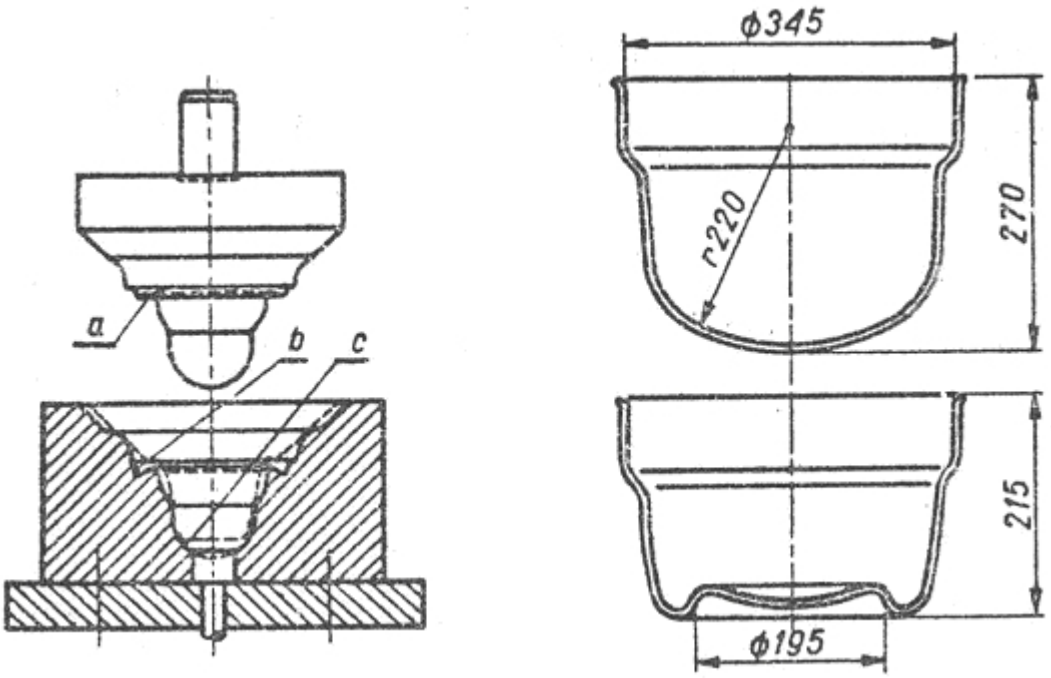
Materiał	$\varepsilon_A = \left[1 - \frac{A}{A_0}\right] \cdot 100\%$	
	Wytłaczanie Z wyciąganiem	Wyciąganie
Stal miękka Stal średnio twarda Mosiądz Aluminium	5560 3540 6070 6065	3545 2530 5060 4050

W warunkach, wyciągania z zastosowaniem odkształceń podanych w tabeli 7.3, należy zasadniczo poddać wytłoczkę wyżarzaniu zmiękczającemu. Istnieje jednak możliwość uzyskania znacznie większych odkształceń bez potrzeby wyżarzania zmiękczającego. Ma to miejsce w przypadku następujących po sobie kolejno operacjach przetłaczania i wyciągania , bądź kilka operacji wyciągania z mniejszymi stopniami odkształceń niż podano w tablicy 7.3.

Dotłaczanie jako operacja wykończająca.

Dotłaczanie polega na nadaniu wytłoczce ostatecznego kształtu co przedstawiono na rysunku 7.5.

W czasie dotłaczania, w pewnych obszarach wytłoczki powstają naprężenia i odkształcenia odpowiadające procesowi rozciągania, w innych zaś ciągnienia. Dotłaczanie bywa stosowane jako ostatnia operacja w procesach kształtowania głębokich wytłoczek w postaci walców, stożków, paraboloid obrotowych itp.



Rys.7.5. Ostateczne kształtowanie wytłoczek przez dotłaczanie. [19]

Celem dotłaczania może być również zmniejszenie promieni przejść między dnem i ścianka lub między ścianką i kołnierzem wytłoczki, które ze względów technologicznych zostały wykonane znacznie większe od żądanych przez konstruktora.

Jeśli szukają Państwo pomocy w napisaniu własnej pracy - potrzebują Państwo fachowych konsultacji to polecamy stronę pisanie prac - profesjonalna pomoc w pisaniu prac w granicach prawa.

Przyczyny pękania wytłoczek oraz środki zmierzające do ich wyeliminowania

Nacisk stempla w funkcji jego przesunięcia przedstawiono dla operacji wytłaczania na rysunku 6.1.d. Zgodnie z poprzednimi rozważaniami nacisk ten jest ściśle związany z oporem plastycznym kołnierza : początkowo rośnie, a po osiągnięciu wartości F_k^{max} maleje, osiągając w końcowej fazie procesu zupełnie małą wartość F_t niezbędną do pokonania oporów tarcia.

Siła tłoczenia osiąga największa wartość przy przesunięciu stempla odpowiadającego ok. 0,3-0,5 wysokości gotowej wytłoczki. W tym właśnie momencie występuje niebezpieczeństwo obwodowego pęknięcia wytłoczki. Aby do tego nie dopuścić, proces musi być zrealizowany w ten sposób, żeby siła F_k^{max} była mniejsza od siły zrywającej wytłoczkę. W czasie wytłaczania musi więc być spełniony warunek:

$F_k^{max} < F^{zr}$.

W celu zmniejszenia niebezpieczeństwa pęknięcia wytłoczki (zmniejszenia wartości współczynnika wytłaczania m_1, równego odwrotności stosunku D/d), należy tak przeprowadzić proces wytłaczania, aby maksymalna siła ciągnienia kołnierza F_k^{max} była jak najmniejsza, zaś siła zrywająca F^{zr} – możliwie duża.

Można to osiągnąć przez:

- zaokrąglenia krawędzi pierścienia ciągowego możliwie

dużym promieniem r_m =(5 –10)g (rys. 6.1.a), w celu zmniejszenia dodatkowego zaginania blachy na tej krawędzi,

- staranne wypolerowanie powierzchni roboczych pierścienia ciągowego i dociskacza, po których ślizga się kształtowana blacha oraz dobre smarowanie powierzchni trących; należy tu zauważyć, że tarcie pomiędzy stemplem a wewnętrzną powierzchnią wytłoczki nie jest szkodliwe, a nawet polepsza warunki tłoczenia powodując zwiększenie siły F^{zr} ;
- wykonanie możliwie dużych promieni zaokrąglenia krawędzi stempla r_s > (4 – 6)g (rys. 6.1.a).

Przy zachowaniu możliwie optymalnych warunków tłoczenia współczynnik wytłaczania m_1 może osiągnąć wartości podane w tablicy (6.2)

TABLICA 6.2. Najmniejsze dopuszczalne wartości współczynnika wytłaczania m_1 . [3]

	2	**1,5**	**1**	**0,6**	**0,3**	**0,15**	**0,08**
1=	**0,48**	**0,5**	**0,53**	**0,55**	**0,58**	**0,6**	**0,63**

Wartości współczynnika m_1 zależą stosunkowo nieznacznie od rodzaju kształtowanego materiału, toteż dane liczbowe zawarte w tej tablicy stosować można do różnych gatunków stali miękkiej, mosiądzu, miedzi itp.

Analizując przebieg siły tłoczenia w funkcji przesunięcia stempla, należy zwrócić uwagę, że charakter tej zależności wynika bezpośrednio z mechaniki odkształcenia plastycznego kołnierza oraz zmieniających się warunków kontaktu pomiędzy materiałem a narzędziami. Początkowy wzrost siły jest związany z koniecznością zapoczątkowania płynięcia materiału oraz pokonania oporów tarcia i bezwładności struktury odkształconej na zimno. W tej fazie dominującym czynnikiem jest opór

plastyczny materiału, który wzrasta wskutek umacniania odkształceniowego.

W miarę dalszego przesuwania się stempla wzrasta intensywność odkształcenia, a materiał kołnierza ulega coraz większemu przemieszczeniu do wnętrza matrycy. Towarzyszy temu zwiększenie długości ścianek bocznych wytłoczki oraz zmniejszenie szerokości kołnierza. W tym zakresie procesu osiągana jest maksymalna wartość siły Fkmax, która stanowi punkt krytyczny z punktu widzenia bezpieczeństwa procesu. Jest to moment, w którym naprężenia rozciągające w materiale osiągają najwyższe wartości, co zwiększa ryzyko inicjacji pęknięcia.

Istotne jest, że lokalizacja maksymalnej siły przy przesunięciu odpowiadającym około 0,3–0,5 wysokości wyrobu nie jest przypadkowa. W tym momencie geometria układu powoduje najbardziej niekorzystny rozkład naprężeń – materiał jest jednocześnie intensywnie odkształcany w kołnierzu oraz rozciągany w strefie przejścia między dnem a ścianką boczną. Powstaje tam stan naprężenia zbliżony do dwuosiowego rozciągania, który jest szczególnie niebezpieczny dla materiałów o ograniczonej plastyczności.

Warunek Fkmax < Fzr ma zatem fundamentalne znaczenie dla poprawnego przebiegu procesu. Siła zrywająca Fzr zależy przede wszystkim od właściwości mechanicznych materiału, takich jak granica wytrzymałości na rozciąganie, a także od aktualnej grubości ścianki oraz stanu naprężenia. W praktyce oznacza to, że zwiększenie Fzr można osiągnąć nie tylko poprzez dobór materiału o lepszych właściwościach plastycznych, ale również poprzez odpowiednie sterowanie przebiegiem procesu, tak aby unikać nadmiernego ścieńczenia ścianek.

Jednym z najważniejszych czynników wpływających na zmniejszenie siły Fkmax jest geometria narzędzi. Zastosowanie odpowiednio dużych promieni zaokrągleń zmniejsza koncentrację naprężeń oraz ogranicza dodatkowe odkształcenia wynikające z

zaginania blachy. Ma to szczególne znaczenie na krawędzi pierścienia ciągowego, gdzie materiał zmienia kierunek przepływu. Zbyt mały promień prowadzi do lokalnego wzrostu naprężeń i może inicjować uszkodzenia materiału.

Równie istotna jest jakość powierzchni roboczych narzędzi. Chropowate powierzchnie zwiększają współczynnik tarcia, co bezpośrednio przekłada się na wzrost siły tłoczenia. Wysokie tarcie powoduje również nierównomierny przepływ materiału, co może prowadzić do lokalnych koncentracji odkształceń. Dlatego w praktyce przemysłowej stosuje się polerowanie narzędzi oraz odpowiednio dobrane środki smarne, które zapewniają stabilne warunki tarcia.

Interesującym zjawiskiem jest korzystny wpływ tarcia pomiędzy stemplem a wewnętrzną powierzchnią wytłoczki. W przeciwieństwie do tarcia w obszarze kołnierza, które jest niepożądane, tutaj tarcie zwiększa siłę zrywającą Fzr poprzez częściowe „podparcie” materiału i ograniczenie jego nadmiernego rozciągania. W efekcie poprawia to bezpieczeństwo procesu i zmniejsza ryzyko pęknięcia.

Współczynnik wytłaczania m1 stanowi syntetyczny parametr opisujący trudność procesu i jego graniczne możliwości. Jego wartość zależy głównie od stosunku średnic oraz warunków tarcia i geometrii narzędzi. Im mniejsza wartość m1, tym większy stopień odkształcenia musi zostać osiągnięty w jednym przejściu, co zwiększa ryzyko uszkodzenia materiału. Dlatego w praktyce często stosuje się operacje wielostopniowe, w których całkowite odkształcenie jest rozłożone na kilka etapów.

Dane zawarte w tablicy wskazują, że wartości współczynnika m1 są stosunkowo mało wrażliwe na rodzaj materiału, co wynika z podobieństwa mechanizmów odkształcenia plastycznego w metalach o strukturze krystalicznej. Niemniej jednak różnice w umacnianiu odkształceniowym, anizotropii czy zdolności do odkształceń mogą wpływać na rzeczywiste wartości dopuszczalne w konkretnych warunkach technologicznych.

Warto również podkreślić znaczenie kontroli parametrów procesu, takich jak prędkość tłoczenia. Zbyt duża prędkość może prowadzić do wzrostu oporów odkształcenia oraz niekorzystnych efektów cieplnych, natomiast zbyt mała może obniżać wydajność procesu. Optymalizacja tych parametrów pozwala na osiągnięcie stabilnego przebiegu tłoczenia oraz minimalizację ryzyka wad.

Podsumowując, przebieg siły tłoczenia w funkcji przesunięcia stempla stanowi podstawowe narzędzie analizy procesu wytłaczania. Pozwala on na identyfikację momentów krytycznych oraz ocenę wpływu poszczególnych czynników technologicznych. Odpowiednie kształtowanie geometrii narzędzi, warunków tarcia oraz parametrów procesu umożliwia obniżenie maksymalnej siły ciągnienia i jednoczesne zwiększenie odporności materiału na pękanie, co jest kluczowe dla uzyskania wyrobów o wysokiej jakości.

Jeśli szukają Państwo pomocy w napisaniu własnej pracy - potrzebują Państwo fachowych konsultacji to polecamy stronę pisanie prac - profesjonalna pomoc w pisaniu prac w granicach prawa.

Przeprowadzenie prób w warunkach laboratorium oraz zestawienie wyników

Stanowisko badawcze

Operacje tłoczenia i przetłaczania zrealizowano na maszynie wytrzymałościowej typu ZD-100 (rys.9.1) w warunkach Laboratorium Komputerowego Modelowania i Technologii Obróbki

Plastycznej. Do badań użyto narzędzi przedstawionych na rysunku 9.2.

Charakterystyka techniczna maszyny ZD-100:

- nacisk w trzech podzakresach – 100kN, 400kN, 1MN,
- prześwit między kolumnami – 60 mm,
- wysokość przestrzeni do rozciągania przy wysuniętym tłoku roboczym – 750 mm,
- wysokość przestrzeni do ściskania przy wysuniętym tłoku roboczym – 695 mm,
- szybkość przemieszczania środkowej głowicy dla ustawienia przestrzeni do rozciągania i ściskania – 280 mm

Wykonanie operacji tłoczenia i przetłaczania na surowo bez wyżarzania rekrystalizującego z użyciem środka smarnego.

W trakcie badań przeprowadzono wytłaczanie , a następnie czterokrotne przetłaczanie wytłoczek z trzech różnych rodzajów blach tj. stalowej, miedzianej i aluminiowej (rys.9.2) o grubości g=1 mm i średnicy D_K = 50 mm **ze smarowaniem** (smar ŁT).

TABELA.9.1.Wymiary średnic matryc i stempli.

Rodzaj operacji	Średnica matrycy [mm]	Średnica stempla
Tłoczenie	29	25,7
Przetłaczanie II	24,72	22,2
Przetłaczanie II	21,92	19,82

Przetłaczanie III	20,4	17,66
Przetłaczanie IV	17,2	14,8

Badany materiał: **STAL.**

TŁOCZENIE

Średnica matrycy: 29 mm.

Średnica stempla 25.7 mm.

Rodzaj smaru: ŁT

Maksymalna siła tłoczenia F [kN]	Średnia wysokość h [mm].	Współczynnik wytłaczania m
14 kN	17.2 mm	0,58

Średnica krążka D=50 mm,

Średnica otrzymanej wytłoczki d=28,8 mm,

Współczynnik wytłaczania

PRZETŁACZANIE I

Średnica matrycy: 24,72 mm,

Średnica stempla: 22,20 mm,

Maksymalna siła przetłaczania I F [kN]	Średnia wysokość h1 [mm]	Współczynnik przetłaczania I m_1
15.5 kN	21,9 mm	0,85

Średnica wytłoczki po wstępnym wytłoczeniu: d=28,8 mm,

Średnica wytłoczki po pierwszym przetłoczeniu: d1=24,46 mm

Współczynnik przetłaczania

PRZETŁACZANIE II

Średnica matrycy : 21,92 mm,

Średnica stempla: 19,82 mm,

Maksymalna siła przetłaczania II F [kN]	Średnia wysokość próbki h2 [mm]	Współczynnik przetłaczania II m_2
23 kN	27.74 mm	0,89

Średnica wytłoczki po pierwszym przetłaczaniu d1=24,46 mm,

Średnica wytłoczki po drugim przetłaczaniu d2= 21,84 mm

Współczynnik przetłaczania

PRZETŁACZANIE III

Średnica matrycy : 20,4 mm,

Średnica stempla: 17,66 mm,

Maksymalna siła przetłaczania III [kN]	Średnia wysokość h3 [mm]	Współczynnik przetłaczania III m_3
8,5 kN	30,66 mm	0,9

Średnica próbki po drugim przetłaczaniu : d_2 =21,84 mm,

Średnica próbki po trzecim przetłaczaniu : d_3 =19,82 mm,

Współczynnik przetłaczania

PRZETŁACZANIE IV

Średnica matrycy : 17,2 mm,

Średnica stempla: 14,8 mm,

Maksymalna siła przetłaczania III [kN]	Średnia wysokość h4 [mm]	Współczynnik przetłaczania III m_4
15 kN	36,2 mm	0,85

Średnica próbki po drugim przetłaczaniu : d_3 =19,82 mm,

Średnica próbki po trzecim przetłaczaniu : d_4 =16,88 mm,

Współczynnik przetłaczania

Po przeprowadzeniu powyższych operacji na otrzymanych wytłoczkach nie stwierdzono żadnych wad ani uszkodzeń.

Badany materiał: **MIEDŹ.**

TŁOCZENIE

Średnica matrycy: 29 mm.

Średnica stempla 25.7 mm.

Maksymalna siła tłoczenia F [kN]	Średnia wysokość próbki h. [mm].	Współczynnik wytłaczania m
10 kN	16,52 mm	0,58

Średnica krążka: D=50 mm,

Średnica otrzymanej wytłoczki : d=28,76 mm,

Współczynnik wytłaczania

PRZETŁACZANIE I

Średnica matrycy: 24,72 mm,

Średnica stempla: 22,20 mm,

Maksymalna siła przetłaczania I F[kN]	Średnia wysokość próbki h1 [mm]	Współczynnik przetłaczania I m_1
16 kN	21,7 mm	0,85

Średnica wytłoczki po wstępnym wytłoczeniu: d=28,76 mm,

Średnica wytłoczki po pierwszym przetłoczeniu: d1=24,66 mm

Współczynnik przetłaczania:

PRZETŁACZANIE II

Średnica matrycy : 21,92 mm,

Średnica stempla: 19,82 mm,

Maksymalna siła przetłaczania II F [kN]	Średnia wysokość próbki h2 [mm]	Współczynnik przetłaczania m_2
18 kN	27,28 mm	0,89

Średnica wytłoczki po pierwszym przetłaczaniu: d1=24,66 mm,

Średnica wytłoczki po drugim przetłaczaniu: d2= 21,82 mm

Współczynnik przetłaczania:

PRZETŁACZANIE III

Średnica matrycy : 20,4 mm,

Średnica stempla: 17,66 mm,

Maksymalna siła przetłaczania III F [kN]	Średnia wysokość próbki h3 [mm]	Współczynnik przetłaczania m_3
6,5 kN	29,82 mm	0,9

Średnica próbki po drugim przetłaczaniu : d_2 =21,82 mm,

Średnica próbki po drugim przetłaczaniu : d_3 =19,82 mm,

Współczynnik przetłaczania:

PRZETŁACZANIE IV

Średnica matrycy : 17,2 mm,

Średnica stempla: 14,8 mm,

Maksymalna siła przetłaczania IV F [kN]	Średnia wysokość próbki h4 [mm]	Współczynnik przetłaczania m_4
10 kN	37,2 mm	0,85

Średnica próbki po drugim przetłaczaniu : d_3 =19,82 mm,

Średnica próbki po drugim przetłaczaniu : d_4 =16,9 mm,

Współczynnik przetłaczania:

Po przeprowadzeniu powyższych operacji na otrzymanych wytłoczkach nie stwierdzono żadnych uszkodzeń.

Badany materiał: **ALUMINIUM.**

TŁOCZENIE

Średnica matrycy: 29 mm.

Średnica stempla 25.7 mm.

Maksymalna siła tłoczenia F [kN]	Średnia wysokość próbki h [mm].	Współczynnik wytłaczania m
4 kN	16, 58 mm	0,58

Średnica krążka : D=50 mm,

Średnica otrzymanej wytłoczki: d=28,92 mm,

Współczynnik wytłaczania :

PRZETŁACZANIE I

Średnica matrycy: 24,72 mm,

Średnica stempla: 22,20 mm,

Maksymalna siła przetłaczania I F [kN]	Średnia wysokość próbki h1 [mm]	Współczynnik przetłaczania m_2
6,5 kN	22,18 mm	0,85

Średnica wytłoczki po wstępnym wytłoczeniu: d=28,92 mm,

Średnica wytłoczki po pierwszym przetłoczeniu: d1=24,48 mm

Współczynnik przetłaczania:

PRZETŁACZANIE II

Średnica matrycy : 21,92 mm,

Średnica stempla: 19,82 mm,

Maksymalna siła przetłaczania II F [kN]	Średnia wysokość próbki h2 [mm]	Współczynnik przetłaczania m_2

7 kN	27,8 mm	0,89

Średnica wytłoczki po pierwszym przetłaczaniu d1=24,48 mm,

Średnica wytłoczki po drugim przetłaczaniu d2= 21,8 mm

Współczynnik przetłaczania:

PRZETŁACZANIE III

Średnica matrycy : 20,4 mm,

Średnica stempla: 17,66 mm,

Maksymalna siła przetłaczania III F [kN]	Średnia wysokość próbki h3 [mm]	Współczynnik przetłaczania m_3
8 kN	30,48 mm	0,9

Średnica próbki po drugim przetłaczaniu : d_2 =21,8 mm,

Średnica próbki po drugim przetłaczaniu : d_3 =19,8 mm,

Współczynnik przetłaczania:

PRZETŁACZANIE IV

Średnica matrycy : 17,2 mm,

Średnica stempla: 14,8 mm,

Maksymalna siła przetłaczania IV F [kN]	Średnia wysokość próbki h4 [mm]	Współczynnik przetłaczania m_4
4 kN	37,4 mm	0,85

Średnica próbki po drugim przetłaczaniu : d_3 =19,8 mm,

Średnica próbki po drugim przetłaczaniu : d_4 =16,8 mm,

Współczynnik przetłaczania:

Po przeprowadzeniu powyższych operacji na otrzymanych wytłoczkach nie stwierdzono żadnych uszkodzeń.

Wykonanie operacji tłoczenia i przetłaczania z wykorzystaniem procesu wyżarzania rekrystalizującego

W następnym etapie badań materiał wsadowy został wstępnie wytłoczony i dwukrotnie przetłoczony. Po drugiej operacji przetłaczania wytłoczki poddano wyżarzaniu rekrystalizującemu a następnie wykonano przetłaczanie trzecie i czwarte.

Temperatury wyżarzania rekrystalizującego dla badanych materiałów podano w tabeli 4.1. Czas wyżarzania dla poszczególnych materiałów przyjęto około 30 minut.

Wyżarzanie rekrystalizujące przeprowadzono w piecu elektrycznym (rys.9.8). W rezultacie tego zabiegu otrzymano zestaw próbek do dalszych badań.

Badany materiał: **STAL.**

TŁOCZENIE

Średnica matrycy: 29 mm.

Średnica stempla 25.7 mm.

Rodzaj smaru: ŁT

Maksymalna siła tłoczenia F [kN]	Średnia wysokość h [mm].	Współczynnik wytłaczania m
14 Kn	17.12 mm	0,58

Średnica krążka D=50 mm,

Średnica otrzymanej wytłoczki d=28,86 mm,

Współczynnik wytłaczania

PRZETŁACZANIE I

Średnica matrycy: 24,72 mm,

Średnica stempla: 22,20 mm,

Maksymalna siła przetłaczania I F [kN]	Średnia wysokość h1 [mm]	Współczynnik przetłaczania I m_1
15 kN	21,92 mm	0,85

Średnica wytłoczki po wstępnym wytłoczeniu: d=28,86 mm,

Średnica wytłoczki po pierwszym przetłoczeniu: d1=24,42 mm

Współczynnik przetłaczania

PRZETŁACZANIE II

Średnica matrycy : 21,92 mm,

Średnica stempla: 19,82 mm,

Maksymalna siła przetłaczania II F [kN]	Średnia wysokość próbki h2 [mm]	Współczynnik przetłaczania II m_2
23.5kN	27.54 mm	0,89

Średnica wytłoczki po pierwszym przetłaczaniu d1=24,42 mm,

Średnica wytłoczki po drugim przetłaczaniu d2= 21,78 mm

Współczynnik przetłaczania

Po operacji drugiego przetłaczania zostało przeprowadzone

wyżarzanie rekrystalizujące.

PRZETŁACZANIE III

Średnica matrycy : 20,4 mm,

Średnica stempla: 17,66 mm,

Maksymalna siła przetłaczania III [kN]	Średnia wysokość h3 [mm]	Współczynnik przetłaczania III m_3
7 kN	30,68 mm	0,9

Średnica próbki po drugim przetłaczaniu : d_2 =21,78 mm,

Średnica próbki po trzecim przetłaczaniu : d_3 =19,9 mm,

Współczynnik przetłaczania

PRZETŁACZANIE IV

Średnica matrycy : 17,2 mm,

Średnica stempla: 14,8 mm,

Maksymalna siła przetłaczania III [kN]	Średnia wysokość h4 [mm]	Współczynnik przetłaczania III m_4
7.5 kN	37,16 mm	0,85

Średnica próbki po drugim przetłaczaniu : d_3 =19,9 mm,

Średnica próbki po trzecim przetłaczaniu : d_4 =16,72 mm,

Współczynnik przetłaczania

Po przeprowadzeniu powyższych operacji na otrzymanych

wytłoczkach nie stwierdzono żadnych uszkodzeń.

Badany materiał: **MIEDŹ.**

TŁOCZENIE

Średnica matrycy: 29 mm.

Średnica stempla 25.7 mm.

Maksymalna siła tłoczenia F [kN]	Średnia wysokość próbki h. [mm].	Współczynnik wytłaczania m
10 kN	16,54 mm	0,58

Średnica krążka: D=50 mm,

Średnica otrzymanej wytłoczki : d=28,78 mm,

Współczynnik wytłaczania

PRZETŁACZANIE I

Średnica matrycy: 24,72 mm,

Średnica stempla: 22,20 mm,

Maksymalna siła przetłaczania I F[kN]	Średnia wysokość próbki h1 [mm]	Współczynnik przetłaczania I m_1
16 kN	21,74 mm	0,85

Średnica wytłoczki po wstępnym wytłoczeniu: d=28,78 mm,

Średnica wytłoczki po pierwszym przetłoczeniu: d1=24,56 mm

Współczynnik przetłaczania:

PRZETŁACZANIE II

Średnica matrycy : 21,92 mm,

Średnica stempla: 19,82 mm,

Maksymalna siła przetłaczania II F [kN]	Średnia wysokość próbki h2 [mm]	Współczynnik przetłaczania m_2
18,5 kN	27,26 mm	0,89

Średnica wytłoczki po pierwszym przetłaczaniu: d1=24,56 mm,

Średnica wytłoczki po drugim przetłaczaniu: d2= 21,78 mm

Współczynnik przetłaczania:

Po operacji drugiego przetłaczania miedzi zostało przeprowadzone wyżarzanie rekrystalizujące.

PRZETŁACZANIE III

Średnica matrycy : 20,4 mm,

Średnica stempla: 17,66 mm,

Maksymalna siła przetłaczania III F [kN]	Średnia wysokość próbki h3 [mm]	Współczynnik przetłaczania m_3
2,5 kN	31,38 mm	0,9

Średnica próbki po drugim przetłaczaniu : d_2 =21,78 mm,

Średnica próbki po drugim przetłaczaniu : d_3 =19,84 mm,

Współczynnik przetłaczania:

PRZETŁACZANIE IV

Średnica matrycy : 17,2 mm,

Średnica stempla: 14,8 mm,

Maksymalna siła przetłaczania IV F [kN]	Średnia wysokość próbki h4 [mm]	Współczynnik przetłaczania m_4
5,5 kN	38,18 mm	0,85

Średnica próbki po drugim przetłaczaniu : d_3 =19,78 mm,

Średnica próbki po drugim przetłaczaniu : d_4 =16,8 mm,

Współczynnik przetłaczania:

Po przeprowadzeniu powyższych operacji na otrzymanych wytłoczkach nie stwierdzono żadnych uszkodzeń.

Badany materiał: **ALUMINIUM.**

TŁOCZENIE

Średnica matrycy: 29 mm.

Średnica stempla 25.7 mm.

Maksymalna siła tłoczenia F [kN]	Średnia wysokość próbki h [mm].	Współczynnik wytłaczania m
4,5 kN	16, 56 mm	0,58

Średnica krążka : D=50 mm,

Średnica otrzymanej wytłoczki: d=28,9 mm,

Współczynnik wytłaczania :

PRZETŁACZANIE I

Średnica matrycy: 24,72 mm,

Średnica stempla: 22,20 mm,

Maksymalna siła przetłaczania I F [kN]	Średnia wysokość próbki h1 [mm]	Współczynnik przetłaczania m_2
6,5 kN	22,2 mm	0,85

Średnica wytłoczki po wstępnym wytłoczeniu: d=28,9 mm,

Średnica wytłoczki po pierwszym przetłoczeniu: d1=24,46 mm

Współczynnik przetłaczania:

PRZETŁACZANIE II

Średnica matrycy : 21,92 mm,

Średnica stempla: 19,82 mm,

Maksymalna siła przetłaczania II F [kN]	Średnia wysokość próbki h2 [mm]	Współczynnik przetłaczania m_2
7 kN	28,22 mm	0,89

Średnica wytłoczki po pierwszym przetłaczaniu d1=24,46 mm,

Średnica wytłoczki po drugim przetłaczaniu d2= 21,76 mm

Współczynnik przetłaczania :

Po operacji drugiego przetłaczania aluminium zostało przeprowadzone wyżarzanie rekrystalizujące.

PRZETŁACZANIE III

Średnica matrycy : 20,4 mm,

Średnica stempla: 17,66 mm,

Maksymalna siła przetłaczania III F [kN]	Średnia wysokość próbki h3 [mm]	Współczynnik przetłaczania m_3
1 kN	31,5 mm	0,9

Średnica próbki po drugim przetłaczaniu : d_2 =21,76 mm,

Średnica próbki po drugim przetłaczaniu : d_3 =19,82 mm,

Współczynnik przetłaczania :

PRZETŁACZANIE IV

Średnica matrycy : 17,2 mm,

Średnica stempla: 14,8 mm,

Maksymalna siła przetłaczania IV F [kN]	Średnia wysokość próbki h4 [mm]	Współczynnik przetłaczania m_4
2 kN	38,46 mm	0,85

Średnica próbki po drugim przetłaczaniu : d_3 =19,82 mm,

Średnica próbki po drugim przetłaczaniu : d_4 =16,78 mm,

Współczynnik przetłaczania :

Po przeprowadzeniu powyższych operacji na otrzymanych wytłoczkach nie stwierdzono żadnych uszkodzeń.

Poniżej zostały przedstawione tabele porównujące maksymalne siły tłoczenia oraz wysokości otrzymanych wytłoczek z dwóch serii badań.

TABELA.9.2. Zestawienie maksymalnych sił tłoczenia oraz otrzymanych wysokości wytłoczek stalowych w poszczególnych próbach.

STAL				
Rodzaj operacji: Toczenie Przetłaczanie I Przetłaczanie II Przetłaczanie III Przetłaczanie IV	Pierwsza seria badań		Druga seria badań	
	Max siła [kN]	Wysokość [mm]	Max siła [kN]	Wysokość [mm]
	14 15,5 23 8,5 15	17,2 21,9 27,74 30,66 36,2	14 15 23,5 **7** **7,5**	17,12 21,92 27,54 30,68 37,16

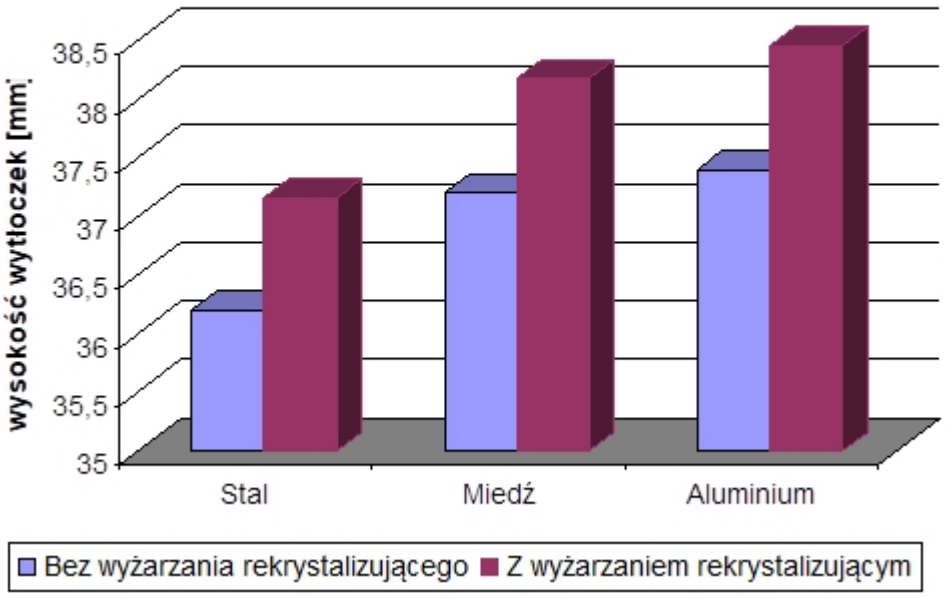
TABELA.9.3. Zestawienie maksymalnych sił tłoczenia oraz otrzymanych wysokości wytłoczek miedzianych w poszczególnych próbach.

MIEDŹ				
Rodzaj operacji: Toczenie Przetłaczanie I Przetłaczanie II Przetłaczanie III Przetłaczanie IV	Pierwsza seria badań		Druga seria badań	
	Max siła [kN]	Wysokość [mm]	Max siła [kN]	Wysokość [mm]
	10 16 18 6,5 10	16,52 21,7 27,28 29,82 37,2	10 16 18,5 2,5 5,5	16,54 21,74 27,26 31,38 38,18

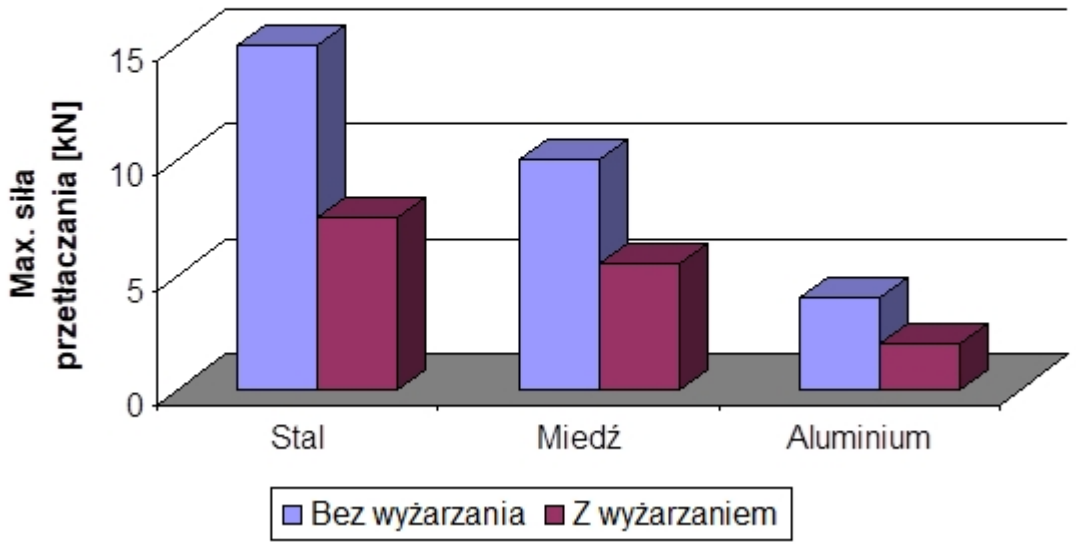
TABELA.9.4. Zestawienie maksymalnych sił tłoczenia oraz otrzymanych wysokości wytłoczek aluminiowych w poszczególnych próbach.

ALUMINIUM				
Rodzaj operacji:	Pierwsza seria badań		Druga seria badań	
	Max siła [kN]	Wysokość [mm]	Max siła [kN]	Wysokość [mm]
Toczenie Przetłaczanie I Przetłaczanie II Przetłaczanie III Przetłaczanie IV	4 6,5 7 8 4	16,58 22,18 27,8 30,48 37,4	4,5 6,5 7 1 2	16,56 22,2 28,22 31,5 38,46

Rys.9.13.Porównanie wysokości otrzymanych wytłoczek wyżarzonych i nie wyżarzonych.



Rys.9.14. Porównanie maksymalnych sił tłoczenia w V operacji wyżarzonych i nie wyżarzonych.



Źródło: opracowanie własne

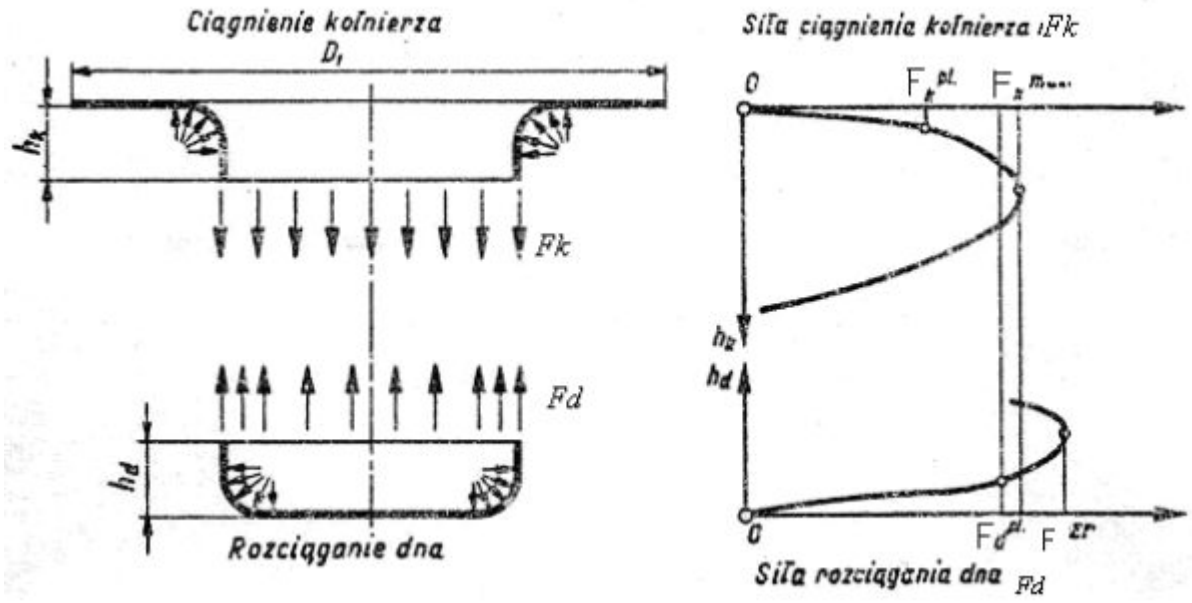
Jeśli szukają Państwo pomocy w napisaniu własnej pracy - potrzebują Państwo fachowych konsultacji to polecamy stronę pisanie prac - profesjonalna pomoc w pisaniu prac w granicach prawa.

Ciągnienie kołnierza wytłoczki

Kołnierz wytłoczki traktować można jako pierścień (rys. 6.3.), którego zewnętrzna krawędź jest wolna od obciążeń, a na krawędź wewnętrzną działają siły ciągnące, równomiernie rozłożone wzdłuż linii przecięcia i dające wypadkową F_k w kierunku osi. Pod wpływem takiego obciążenia następuje plastyczne płynięcie materiału kołnierza do środka. W kołnierzu występują promieniowe naprężenia rozciągające oraz obwodowe naprężenia ściskające.

Osiowa siła F_k , wywierana na wewnętrzny brzeg pierścienia, zależy od oporu plastycznego kołnierza i ulega zmianie w miarę zmniejszania się jego średnicy zewnętrznej D_1 i powiększania się wysokości h_k walcowych ścianek. Zmiany te przedstawia wykres na rysunku 6.3.

Proces plastycznego płynięcia kołnierza, charakteryzujący się zmniejszeniem zewnętrznej jego średnicy D_1 , rozpoczyna się przy sile F_k^{pl} .Następnie siła F_k wzrasta wskutek umacniania zachodzącego w odkształconym na zimno materiale oraz wskutek zwiększania się grubości blachy w zewnętrznej części kołnierza. Jednocześnie jednak zmniejszanie się szerokości odkształcanego kołnierza, którego zewnętrzna średnica D_1 zbliża się stopniowo do jego średnicy wewnętrznej d, przyczynia się do spadku oporu plastycznego. W rezultacie obu tych zjawisk F_k , po osiągnięciu wartości F_k^{max} , maleje do zera i wtedy cały kołnierz przekształci się w walcową część wytłoczki.



Rys.6.3. Przebieg sił w czasie ciągnienia kołnierza oraz rozciągania dna wytłoczki. [3]

Analizując przedstawiony proces odkształcenia kołnierza wytłoczki, należy zwrócić uwagę na złożony stan naprężeń,

który powstaje w materiale podczas ciągnienia. Występowanie jednocześnie naprężeń rozciągających w kierunku promieniowym oraz ściskających w kierunku obwodowym prowadzi do specyficznych warunków odkształcenia plastycznego. Taki stan naprężenia sprzyja płynięciu materiału do środka, jednak jednocześnie stwarza ryzyko utraty stateczności w postaci fałdowania kołnierza, szczególnie w przypadku cienkich blach.

Zjawisko fałdowania wynika bezpośrednio z działania naprężeń ściskających w kierunku obwodowym. Jeśli wartość tych naprężeń przekroczy krytyczną wartość zależną od grubości blachy, modułu sprężystości oraz geometrii kołnierza, materiał może ulec wyboczeniu. W praktyce technologicznej przeciwdziała się temu poprzez zastosowanie dociskacza, który wywiera dodatkową siłę normalną na kołnierz, stabilizując jego położenie i ograniczając możliwość powstawania fałd.

Istotnym parametrem wpływającym na przebieg procesu jest również współczynnik tarcia pomiędzy materiałem a narzędziem. Tarcie działa przeciwnie do kierunku płynięcia materiału, zwiększając wymaganą siłę ciągnienia Fk. Wysoki współczynnik tarcia może prowadzić do nadmiernego wzrostu siły, a w konsekwencji do uszkodzenia materiału, np. poprzez jego pęknięcie. Dlatego w procesach tłoczenia stosuje się odpowiednie środki smarne, które redukują tarcie i umożliwiają bardziej równomierny przepływ materiału.

W miarę postępu procesu zmienia się nie tylko wartość siły Fk, ale również rozkład odkształceń w materiale. Początkowo największe odkształcenia występują w zewnętrznej części kołnierza, gdzie materiał ulega intensywnemu ściskaniu obwodowemu. Wraz ze zmniejszaniem się średnicy zewnętrznej D1 strefa aktywnego odkształcenia przesuwa się w kierunku środka, a materiał stopniowo przechodzi w stan rozciągania wzdłuż ścianek wytłoczki.

Należy również uwzględnić wpływ anizotropii materiału na przebieg procesu tłoczenia. Blachy walcowane wykazują

kierunkowość właściwości mechanicznych, co oznacza, że ich zachowanie podczas odkształcenia może różnić się w zależności od kierunku względem kierunku walcowania. Może to prowadzić do nierównomiernego rozkładu odkształceń oraz powstawania tzw. uszu, czyli lokalnych nierówności na krawędzi wytłoczki.

Kolejnym ważnym aspektem jest zmiana grubości materiału w trakcie procesu. W obszarze kołnierza obserwuje się zazwyczaj pogrubienie materiału wynikające ze ściskania obwodowego, natomiast w ścianach bocznych wytłoczki może dochodzić do jego ścieńczenia na skutek rozciągania. Rozkład grubości ma kluczowe znaczenie dla wytrzymałości gotowego wyrobu oraz jego odporności na uszkodzenia w trakcie eksploatacji.

Warto także przeanalizować warunki graniczne procesu, które determinują maksymalną możliwą wartość współczynnika wytłaczania. Przekroczenie dopuszczalnych wartości może prowadzić do pęknięcia materiału w obszarze dna wytłoczki, gdzie występują największe naprężenia rozciągające. Dlatego proces tłoczenia często realizuje się wieloetapowo, z zastosowaniem kolejnych operacji przetłaczania, co pozwala na stopniowe kształtowanie wyrobu bez przekraczania krytycznych odkształceń.

Z punktu widzenia energetycznego proces ciągnienia kołnierza wiąże się z koniecznością pokonania zarówno oporu plastycznego materiału, jak i oporów tarcia. Całkowita praca odkształcenia jest więc sumą pracy zużytej na zmianę kształtu materiału oraz pracy traconej na pokonanie sił tarcia. Optymalizacja procesu polega na minimalizacji tej drugiej składowej poprzez odpowiedni dobór warunków technologicznych.

Analiza wykresu przedstawionego na rysunku 6.3 pozwala zauważyć, że maksymalna siła Fkmax stanowi kluczowy parametr projektowy dla doboru maszyn i narzędzi. Musi ona być niższa od dopuszczalnej wytrzymałości materiału, aby uniknąć jego uszkodzenia. Jednocześnie powinna być możliwa do uzyskania przez zastosowaną prasę, co narzuca ograniczenia

technologiczne.

Proces ciągnienia kołnierza wytłoczki jest złożonym zagadnieniem mechanicznym, w którym współdziałają różne czynniki, takie jak stan naprężeń, tarcie, anizotropia materiału oraz geometria układu. Zrozumienie tych zależności pozwala na efektywne projektowanie procesów tłoczenia oraz uzyskiwanie wyrobów o wysokiej jakości i wymaganych właściwościach użytkowych.

Kształtowanie dna wytłoczki

Dno wytłoczki można traktować jako miseczkę nasadzoną na stempel (rys. 6.3.). Dno jest obciążone siłą osiową F_d, równomiernie rozłożoną wzdłuż jego obwodu i zastępującą oddziaływanie kołnierza wytłoczki.

Rozpatrujemy przebieg odkształcenia się dna pod wpływem działania siły F_d , jeżeli siła ta osiągnie wartość F_d^{pl} , wówczas materiał przechodzi w stan plastyczny. Rozpoczyna się proces plastycznego rozciągania dna oraz jego ścianek walcowych. W rezultacie następuje wzrost wysokości dna h_d kosztem pocienienia ścianek. Wraz ze wzrostem wysokości h_d zmienia się również siła osiowa F_d , co przedstawia wykres we współrzędnych F_d ,h_d na rysunku 4.3. Początkowy wzrost siły F_d jest spowodowany intensywnym umacnianiem się materiału. W momencie gdy siła ta osiągnie krytyczną wartość F^{zr} , następuje przewężenie ścianek bocznych, prowadzące do pęknięcia. Pęknięcie to ma miejsce najczęściej na zaokrąglonej krawędzi, gdzie grubość jest najmniejsza.

Jeśli szukają Państwo pomocy w napisaniu własnej pracy - potrzebują Państwo fachowych konsultacji to polecamy stronę pisanie prac - profesjonalna pomoc w pisaniu prac w granicach prawa.

Rekrystalizacja

Rekrystalizacją nazywamy procesy zachodzące w uprzednio odkształconym metalu, związane z migracją szerokokątowych granic ziarn, w rezultacie której następuje wzrost ziarn i zmiana ich orientacji. Warunkiem przebiegu rekrystalizacji jest stopień odkształcenia materiału, większy od tzw. odkształcenia krytycznego.

Obserwuje się kilka rodzajów rekrystalizacji.

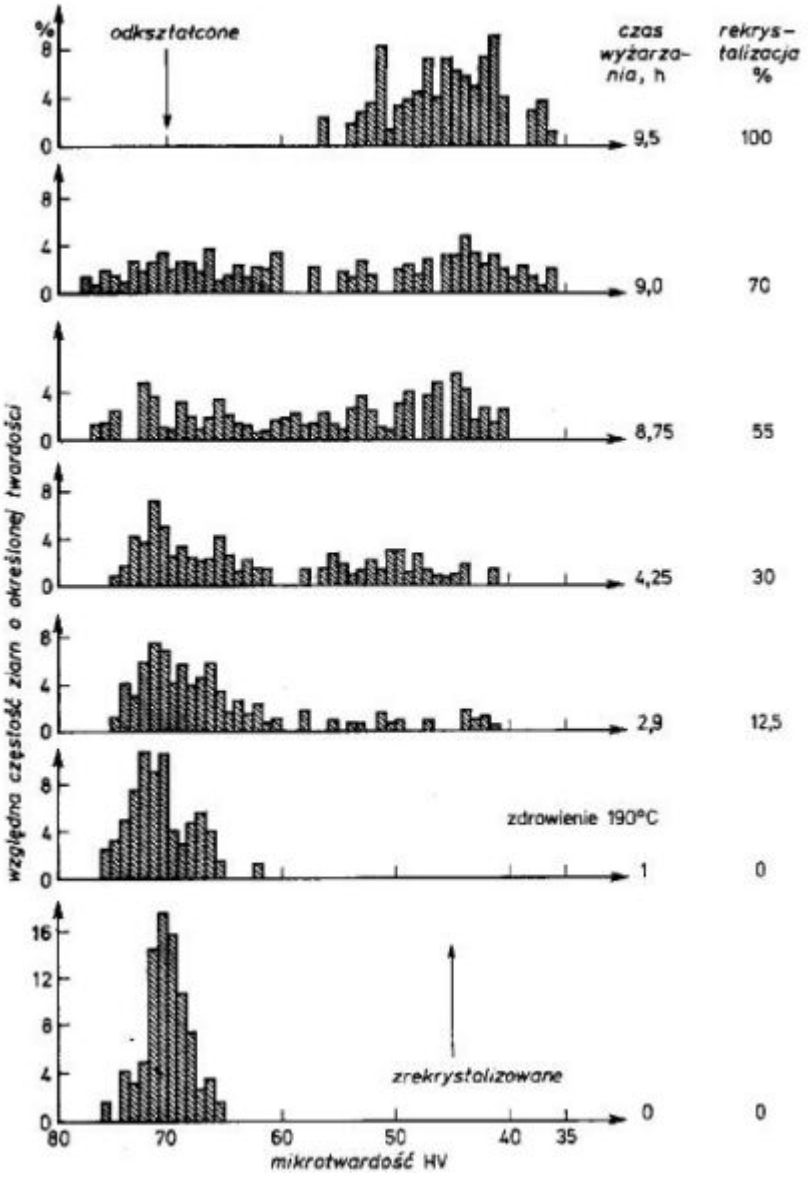
Rodzaje rekrystalizacji.

Rekrystalizacja pierwotna

W podwyższonej temperaturze następuje aktywowany cieplnie proces rekrystalizacji pierwotnej, tj. całkowitego przekrystalizowania odkształconego plastycznie metalu. Siłą napędową procesu jest różnica energii zmagazynowanej zarodka rekrystalizacji i odkształconej osnowy. Utworzone w metalu podczas zdrowienia subziarna o szerokokątowych granicach, zdolnych do migracji, stanowią zarodki rekrystalizacji. Ich wzrost kosztem odkształconej osnowy następuje do momentu przekrystalizowania całej osnowy. Ponieważ poruszające się granice anihilują napotkane dyslokacje, zrekrystalizowane ziarna odznaczają się niewielką gęstością dyslokacji, zdolnych do poślizgów i rozmnażania się. Utworzona podczas rekrystalizacji struktura obejmuje równoosiowe ziarna, wolne od naprężeń, pozbawione linii i pasm poślizgów, ale z pozostałymi bliźniakami.

Szybkość wzrostu ziarn podczas rekrystalizacji jest nierównomierna. Najszybciej wzrastają zarodki odpowiednio zorientowane, przy czyni efekt ten jest potęgowany wielkością odkształcenia. Z tego powodu metal zrekrystalizowany po małym

gniocie odznacza się praktycznie przypadkową orientacją ziarn. Natomiast metal zrekrystalizowany po dużym gniocie wykazuje teksturę rekrystalizacji, zwykle zbliżoną do tekstury odkształcenia. Z tego powodu metal zrekrystalizowany może wykazywać pewną anizotropię.

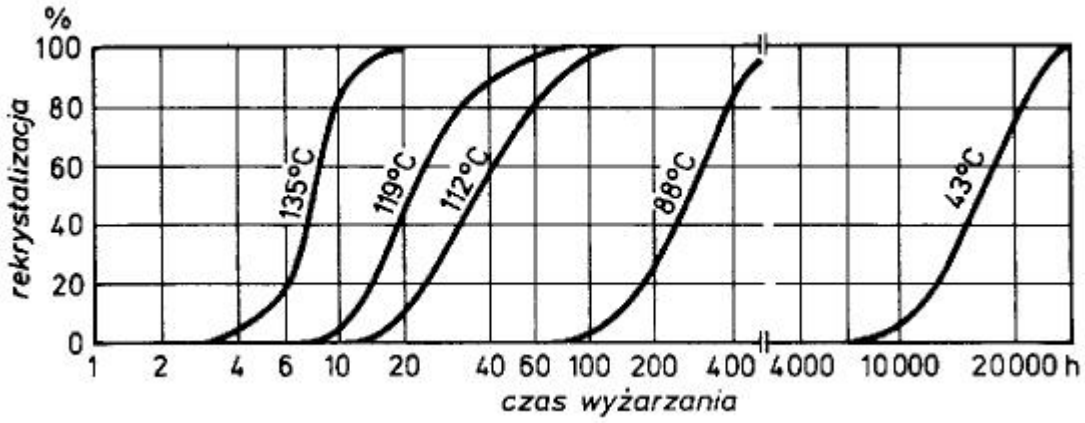


Rys.4.5. Zmiany rozkładu mikrotwardości podczas rekrystalizacji izotermicznej w temperaturze 210°C w czystej miedzi po odkształceniu 10%. [14]

Rekrystalizacja powoduje mięknięcie materiału. Badania wykazują, ze w materiale rekrystalizowanym występują dwie frakcje ziarn: twardych (niezrekrystalizowanych) i miękkich (zrekrystalizowanych). Z upływem czasu zabiegu udział

pierwszych maleje, a drugich rośnie, jak to przedstawiono poglądowo na rys.4.5. Zmiany mikrotwardości ziarn prowadzą do obserwowanego zmniejszania się makrotwardości. Analiza udziału obu frakcji ziarn w czasie umożliwia określenie kinetyki rekrystalizacji. Jak wynika z rys. 4.6, rekrystalizacja zależy od czasu i silnie od temperatury.

Rys.4.6. Przebieg izotermicznej rekrystalizacji w zależności od czasu , czystej miedzi po odkształceniu- 99%. [14]



Krzywe kinetyczne wskazują, że szybkość procesu wzrasta, przechodzi przez maksimum, a następnie asymptotycznie dąży do zera (zmiana typowa dla procesów obejmujących zarodkowanie i wzrost).

Rekrystalizacja równomierna

Po zakończeniu rekrystalizacji pierwotnej następuje rekrystalizacja równomierna , polegająca na wzroście średniej wielkości ziarna. Jest to wzrost selektywny: rosną ziarna większe, a mniejsze zanikają. Siłą napędową procesu jest napięcie powierzchniowe granic ziarn; następuje zmniejszenie powierzchni granic na jednostkę objętości materiału, m.in. przez wyprostowywanie zakrzywionych granic na drodze migracji w kierunku środków krzywizn granic.

Ponieważ siła napędowa jest znacznie mniejsza od siły napędowej rekrystalizacji pierwotnej, proces wzrostu ziarn

(ruch granic) jest znacznie wolniejszy niż podczas rekrystalizacji pierwotnej.

Rekrystalizacja wtórna

Po zakończeniu rekrystalizacji pierwotnej w wysokich temperaturach przebiega tzw. rekrystalizacjo wtórna. Proces polega na szczególnym przypadku selektywnego, silnego wzrostu niektórych ziarn o uprzywilejowanej orientacji. Doprowadza do bardzo dużego zróżnicowania wielkości ziarn, a po całkowitym przebiegu do wytworzenia kruchej, gruboziarnistej struktury. Konsekwencją mechanizmu wzrostu ziarn podczas rekrystalizacji wtórnej jest wytworzenie charakterystycznej tekstury, odmiennej od tekstury rekrystalizacji pierwotnej.

Proces rekrystalizacji jest jednym z kluczowych zjawisk zachodzących w metalach poddanych wcześniejszemu odkształceniu plastycznemu, a jego znaczenie w inżynierii materiałowej wynika bezpośrednio z możliwości kontrolowania właściwości mechanicznych poprzez odpowiednie sterowanie parametrami obróbki cieplnej. W szczególności istotne jest powiązanie rekrystalizacji z wcześniejszym stanem zgniotu, ponieważ to właśnie energia zgromadzona w wyniku odkształcenia stanowi główną siłę napędową całego procesu. Im większy stopień odkształcenia, tym większa gęstość dyslokacji oraz większa liczba potencjalnych miejsc zarodkowania nowych ziarn.

W praktyce oznacza to, że istnieje ścisła zależność pomiędzy odkształceniem a temperaturą rekrystalizacji. Dla materiałów silnie odkształconych temperatura początku rekrystalizacji jest niższa, ponieważ wysoka energia wewnętrzna sprzyja inicjacji procesu. Natomiast dla materiałów odkształconych w niewielkim stopniu konieczne jest dostarczenie większej energii cieplnej, aby uruchomić procesy migracji granic ziarn. Zjawisko to ma istotne znaczenie technologiczne, ponieważ pozwala na optymalizację parametrów obróbki cieplnej w zależności od historii odkształcenia materiału.

Kolejnym ważnym aspektem jest wpływ czasu wygrzewania na przebieg rekrystalizacji. Proces ten nie zachodzi natychmiast po osiągnięciu odpowiedniej temperatury, lecz wymaga określonego czasu, w którym zachodzą zarówno procesy zarodkowania, jak i wzrostu nowych ziarn. W początkowym etapie dominują procesy zarodkowania, które zachodzą w obszarach o największej koncentracji energii odkształcenia. Następnie, w miarę upływu czasu, zaczyna dominować wzrost ziarn, prowadzący do stopniowego przejmowania objętości przez strukturę zrekrystalizowaną.

Charakterystyczną cechą rekrystalizacji jest jej przebieg zgodny z krzywymi kinetycznymi o kształcie sigmoidalnym. Początkowo proces przebiega powoli, następnie gwałtownie przyspiesza, osiąga maksimum szybkości, a na końcu ponownie zwalnia w miarę wyczerpywania się odkształconej osnowy. Taki przebieg jest typowy dla procesów dyfuzyjnych, w których istotną rolę odgrywają zarówno mechanizmy zarodkowania, jak i wzrostu.

Warto również zwrócić uwagę na wpływ czystości materiału na przebieg rekrystalizacji. Obecność zanieczyszczeń oraz dodatków stopowych może znacząco hamować ruch granic ziarn poprzez tzw. efekt przypinania (ang. pinning). Cząstki drugiej fazy lub segregacje pierwiastków na granicach ziarn ograniczają ich mobilność, co prowadzi do spowolnienia procesu rekrystalizacji oraz zmiany końcowej struktury materiału. W skrajnych przypadkach może to prowadzić do powstania struktury drobnoziarnistej o podwyższonej wytrzymałości.

Istotnym zagadnieniem jest również wpływ rekrystalizacji na właściwości mechaniczne materiału. Proces ten prowadzi do wyraźnego obniżenia granicy plastyczności oraz twardości, przy jednoczesnym wzroście plastyczności i udarności. Wynika to z faktu, że nowe ziarna są praktycznie wolne od dyslokacji, co ułatwia inicjację i rozwój poślizgów krystalograficznych. Z tego względu rekrystalizacja jest często wykorzystywana jako etap przygotowawczy przed dalszą obróbką plastyczną.

Należy także podkreślić znaczenie wielkości ziarna po zakończeniu rekrystalizacji. Drobnoziarnista struktura sprzyja poprawie właściwości wytrzymałościowych zgodnie z zależnością Hall-Petcha, natomiast struktura gruboziarnista charakteryzuje się większą plastycznością, ale mniejszą wytrzymałością. Dlatego kontrola parametrów rekrystalizacji pozwala na świadome kształtowanie kompromisu pomiędzy tymi właściwościami, w zależności od wymagań eksploatacyjnych.

W kontekście rekrystalizacji równomiernej szczególnie istotne jest zjawisko dążenia układu do minimalizacji energii powierzchniowej. Granice ziarn, jako obszary o podwyższonej energii, ulegają stopniowemu wygładzaniu i redukcji. Proces ten prowadzi do powiększania się średniej wielkości ziarn, co może mieć zarówno pozytywne, jak i negatywne konsekwencje. Z jednej strony zmniejszenie liczby granic ziarn może poprawiać niektóre właściwości fizyczne, takie jak przewodność, z drugiej jednak prowadzi do obniżenia wytrzymałości mechanicznej.

Rekrystalizacja wtórna stanowi natomiast szczególny przypadek niestabilności strukturalnej, w którym dochodzi do gwałtownego wzrostu wybranych ziarn. Mechanizm ten jest często związany z obecnością specyficznych orientacji krystalograficznych, które wykazują niższą energię granic lub większą mobilność. W efekcie powstaje struktura o bardzo dużych ziarnach, co jest zjawiskiem niepożądanym w większości zastosowań inżynierskich.

W praktyce przemysłowej zapobieganie rekrystalizacji wtórnej polega na precyzyjnym kontrolowaniu temperatury i czasu wygrzewania, a także na odpowiednim doborze składu chemicznego stopu. Wprowadzenie drobnych cząstek faz wtórnych może skutecznie ograniczać ruch granic ziarn, stabilizując strukturę i zapobiegając nadmiernemu rozrostowi ziarn.

Podsumowując, rekrystalizacja jest procesem wieloetapowym, którego przebieg i efekty końcowe zależą od wielu czynników, takich jak stopień odkształcenia, temperatura, czas oraz skład

chemiczny materiału. Zrozumienie mechanizmów rządzących tym procesem pozwala na świadome projektowanie technologii obróbki metali oraz uzyskiwanie materiałów o pożądanych właściwościach mechanicznych i strukturalnych.

Jeśli szukają Państwo pomocy w napisaniu własnej pracy - potrzebują Państwo fachowych konsultacji to polecamy stronę pisanie prac - profesjonalna pomoc w pisaniu prac w granicach prawa.

Fałdowanie kołnierza oraz sposoby jego zapobiegania

Fałdowanie kołnierza wytłoczki w czasie ciągnienia jest pewną formą plastycznego wyboczenia blachy, zachodzącego pod wpływem ściskających naprężeń obwodowych, wówczas gdy grubość blachy g jest mała w porównaniu ze średnicą D odkształcanego krążka.

Przy tłoczeniu blach o grubości g> 0,02 fałdowanie nie występuje i wtedy można stosować wytłaczanie swobodne za pomocą pierścieni ciągowych o zarysie pokazanym na rys. 6.4.

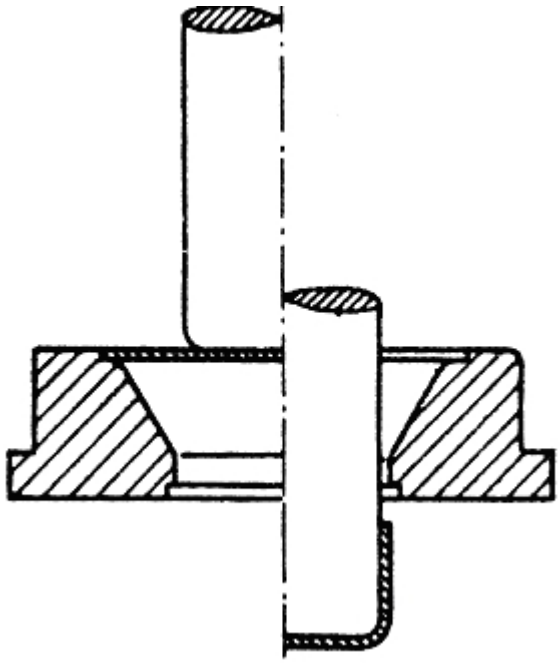
W przypadku gdy g < 0.015 , konieczne jest stosowanie specjalnych środków w celu niedopuszczenia do powstawania fałd.

Najprostszym sposobem zapobiegania fałdowaniu się płaskiego kołnierza jest zastosowanie dodatkowego pierścienia dociskającego blachę do powierzchni pierścienia ciągowego z pewną siłą F_{doc}, a więc prowadzenie wytłaczania z dociskaczem (rys. 6.1).

Dla 0,015<g< 0,02 o wyborze sposobu tłoczenia decyduje przede wszystkim wartość współczynnika wytłaczania m_1 i w pewnym

stopniu rodzaj materiału. Fałdowanie następuje tym łatwiej im mniejszy jest współczynnik oraz im bardziej miękki materiał.

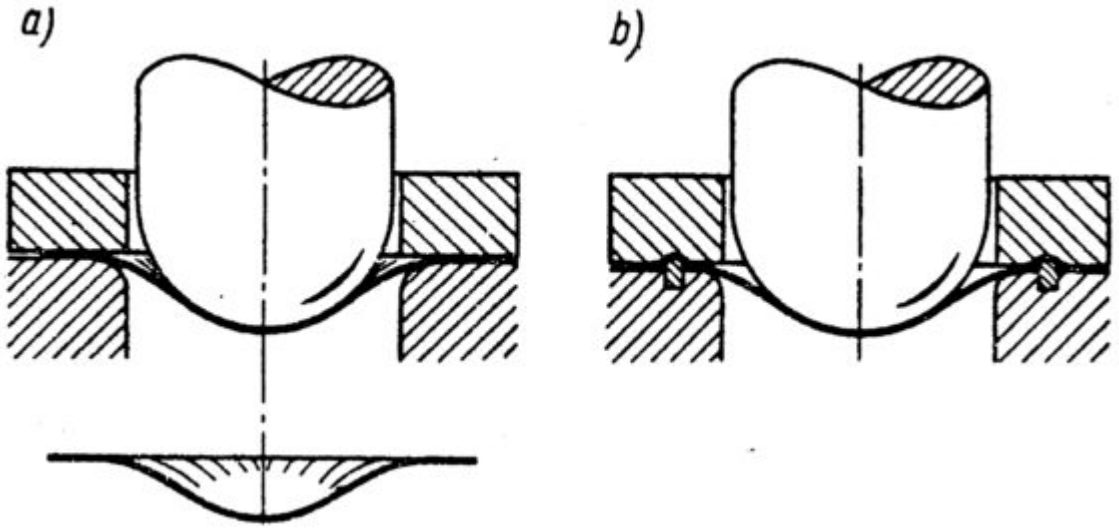
Siła wywierana przez dociskacz nie może być zbyt mała, ponieważ nie spełnia on swego zadania, z drugiej zaś strony nie może być zbyt duża, gdyż prowadzi to do nadmiernego wzrostu siły tłoczenia i pękania wytłoczki.



Rys.6.4. Wytłaczanie swobodne. [3]

Dociskacz zapobiega tworzenia się fałd jedynie na płaskim kołnierzu wytłoczki. Fałdy mogą jednak powstawać, szczególnie przy tłoczeniu wytłoczek stożkowych, sferycznych itp., również na obszarze między stemplem a pierścieniem ciągowym (rys. 6.5a), a więc poza zasięgiem dociskacza.

W tym przypadku jedynym sposobem ich uniknięcia jest zwiększenie promieniowego naciągu blachy, co pociąga za sobą zmniejszenie obwodowych naprężeń ściskających będących bezpośrednią przyczyną fałd. Aby zwiększyć promieniowe rozciąganie blachy w zagrożonym obszarze, stosować można tak zwane progi ciągowe (rys. 6.5), na których przewija się blacha wysuwając się spod dociskacza.



Rys. 6.5. Wytłaczanie: a) z dociskaczem, b) z dociskaczem i progiem ciągowym. [20]

Luz jako czynnik wpływający na występowanie wad.

Najczęściej spotykane wady wytłoczek to głównie zmiany grubości ścianek oraz niedokładności kształtu takie jak :

- odchylenie ścianki bocznej od kształtu cylindrycznego
- nierówność obrzeża
- wypukłość dna

Wpływ na występowanie wymienionych wad ma głównie wielkość luzu między stemplem a matrycą oraz sprężynowanie ścianki wytłoczki. Jeżeli wytłaczanie jest ostateczną operacją kształtowania a wymagania odnośnie dokładności kształtu są wysokie, to zaleca się prowadzenie procesu, przy wielkości szczeliny. Proces wytłaczania przebiega wówczas przy zmienionym stanie naprężeń gdyż od pewnego momentu w procesie następuje obciskanie ścianki na stemplu a następnie jej pocienienie.

Zjawisko to wpływa dodatnio na dokładność kształtu wytłoczki jednak powoduje wzrost siły tłoczenia i przyspiesza zużycie się matrycy. W większość wypadków wielkość szczeliny dobieramy uwzględniając zwiększenie grubości ścianki:

- dla wytłoczek bez kołnierza s=+T/d
- dla wytłoczek z kołnierzem s=+T/D_k

T- dodatnia tolerancja grubości blachy.

Fałdowanie kołnierza należy rozpatrywać nie tylko jako zjawisko geometryczne, ale przede wszystkim jako problem stateczności cienkościennych elementów poddanych ściskaniu obwodowemu. W warunkach tłoczenia występuje tu analogia do klasycznego wyboczenia powłok, gdzie krytyczna wartość naprężeń zależy od stosunku grubości blachy do jej wymiarów charakterystycznych. Im cieńsza blacha oraz im większa średnica krążka, tym mniejsza odporność na utratę stateczności i tym większe prawdopodobieństwo powstania fałd.

Mechanizm powstawania fałd polega na lokalnym zaburzeniu równowagi naprężeń w kołnierzu. Początkowo odkształcenie przebiega w sposób osiowo-symetryczny, jednak przy przekroczeniu pewnej wartości naprężeń ściskających materiał zaczyna przemieszczać się w kierunku prostopadłym do powierzchni blachy, tworząc charakterystyczne pofałdowania. Proces ten ma charakter niestabilny i po jego zainicjowaniu rozwija się bardzo szybko, prowadząc do trwałych wad wyrobu.

Zastosowanie dociskacza wprowadza dodatkowy stan naprężeń normalnych, który przeciwdziała powstawaniu fałd poprzez zwiększenie sił tarcia oraz ograniczenie swobody przemieszczeń materiału w kierunku osiowym. W praktyce oznacza to, że materiał jest „przytrzymywany” i zmuszany do bardziej kontrolowanego przepływu do wnętrza matrycy. Jednak skuteczność dociskacza zależy w dużym stopniu od prawidłowego doboru siły Fdoc, która musi być dostosowana zarówno do właściwości materiału, jak i geometrii wytłoczki.

Zbyt mała siła docisku nie zapewnia stabilizacji kołnierza, przez co fałdowanie może wystąpić mimo zastosowania dociskacza. Z kolei nadmierny docisk powoduje wzrost sił tarcia, co prowadzi do zwiększenia siły tłoczenia oraz ryzyka

pęknięcia materiału, szczególnie w obszarze ścianek bocznych. W skrajnych przypadkach może to również powodować zatarcia materiału na powierzchniach narzędzi, co negatywnie wpływa na jakość powierzchni wyrobu.

W przypadku bardziej złożonych kształtów, takich jak wytłoczki stożkowe czy sferyczne, rozkład naprężeń jest jeszcze bardziej niejednorodny. Obszar pomiędzy stemplem a pierścieniem ciągowym podlega dodatkowym deformacjom, które mogą prowadzić do powstawania fałd niezależnie od działania dociskacza. Wynika to z lokalnego zmniejszenia naprężeń rozciągających w kierunku promieniowym oraz dominacji naprężeń ściskających w kierunku obwodowym.

Zastosowanie progów ciągowych stanowi skuteczne rozwiązanie tego problemu, ponieważ wymuszają one dodatkowe rozciąganie materiału w kierunku promieniowym. Blacha, przechodząc przez próg, ulega lokalnemu odkształceniu, które zwiększa jej napięcie i stabilizuje stan naprężeń. W efekcie zmniejsza się skłonność do powstawania fałd, a proces tłoczenia przebiega w sposób bardziej kontrolowany. Jednocześnie jednak progi ciągowe zwiększają opory procesu, co należy uwzględnić przy doborze parametrów technologicznych.

Przechodząc do zagadnienia luzu między stemplem a matrycą, należy podkreślić jego kluczową rolę w kształtowaniu jakości wyrobu. Luz ten decyduje o warunkach przepływu materiału oraz o końcowej grubości ścianek wytłoczki. Zbyt duży luz prowadzi do braku kontroli nad kształtem, co objawia się odchyleniami od geometrii nominalnej, natomiast zbyt mały luz powoduje intensywne tarcie i może prowadzić do uszkodzeń materiału.

Zjawisko sprężynowania, czyli częściowego powrotu materiału do pierwotnego kształtu po usunięciu obciążenia, dodatkowo komplikuje sytuację. Powoduje ono odchylenia wymiarowe oraz deformacje, takie jak wypukłość dna czy odchylenia ścianek bocznych. Wpływ sprężynowania jest szczególnie widoczny w materiałach o wysokiej granicy sprężystości, gdzie udział

odkształceń sprężystych jest znaczny.

W przypadku stosowania zmniejszonego luzu dochodzi do zjawiska obciskania ścianki na stemplu, co prowadzi do jej kontrolowanego pocienienia. Proces ten poprawia dokładność wymiarową oraz jakość powierzchni, jednak odbywa się kosztem zwiększenia sił działających w układzie narzędziowym. W rezultacie rośnie zużycie narzędzi oraz zapotrzebowanie na energię procesu.

Dobór odpowiedniej wartości szczeliny musi więc uwzględniać kompromis pomiędzy jakością wyrobu a trwałością narzędzi i efektywnością procesu. W praktyce wykorzystuje się zależności uwzględniające tolerancję grubości blachy, co pozwala na zapewnienie odpowiednich warunków odkształcenia dla różnych partii materiału. Różnice pomiędzy wytłoczkami z kołnierzem i bez kołnierza wynikają z odmiennych warunków przepływu materiału oraz rozkładu naprężeń.

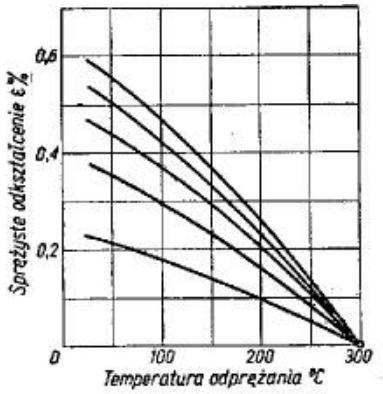
Podsumowując, zarówno fałdowanie kołnierza, jak i wady wynikające z nieprawidłowego doboru luzu są bezpośrednio związane z mechaniką odkształcenia plastycznego oraz stabilnością procesu tłoczenia. Ich eliminacja wymaga kompleksowego podejścia obejmującego dobór geometrii narzędzi, parametrów procesu oraz właściwości materiału. Tylko uwzględnienie wszystkich tych czynników pozwala na uzyskanie wyrobów o wysokiej jakości i powtarzalności.

Jeśli szukają Państwo pomocy w napisaniu własnej pracy - potrzebują Państwo fachowych konsultacji to polecamy stronę pisanie prac - profesjonalna pomoc w pisaniu prac w granicach prawa.

Zanik naprężeń wewnętrznych

W zgniecionym materiale istnieją niemal zawsze, większe lub mniejsze naprężenia wewnętrzne. Poddając zgnieciony materiał działaniu podwyższonej temperatury możemy wywołać częściowy lub całkowity zanik naprężeń wewnętrznych.

Rysunek 4.4 podaje wpływ temperatury na zanik naprężeń wewnętrznych w zgniecionych taśmach mosiężnych dla różnych wartości naprężeń.



Wpływ temperatury odprężania na zanik naprężeń wewnętrznych w zgiętych paskach mosiężnych

Rys.4.4. Wpływ temperatury odprężania na zanik naprężeń wewnętrznych

w zgiętych paskach mosiężnych. [12]

Z rysunku tego widzimy, że niezależnie od wielkości naprężeń

ich całkowity zanik zachodzi w temperaturze 300°C. natomiast z rysunku 4.1 widzimy że całkowity zanik naprężeń wewnętrznych w zachodzi w II zakresie temperatur i jest związany ze zmianą własności mechanicznych zgniecionego materiału.

Zjawisko to jest ściśle związane z procesami zachodzącymi w

strukturze krystalicznej metalu podczas nagrzewania. W podwyższonej temperaturze dochodzi do zwiększenia ruchliwości dyslokacji, które są głównymi nośnikami odkształcenia plastycznego. W wyniku ich przemieszczania i wzajemnego znoszenia następuje stopniowa redukcja energii odkształcenia zgromadzonej w materiale. Proces ten określa się mianem odprężania i stanowi pierwszy etap zdrowienia materiału po odkształceniu na zimno.

W niższych zakresach temperatur odprężanie ma charakter częściowy, co oznacza, że usuwane są jedynie naprężenia o mniejszej wartości, natomiast struktura materiału pozostaje w dużej mierze niezmieniona. Nie obserwuje się istotnych zmian w wielkości ziaren ani w twardości materiału. Jednak już na tym etapie poprawiają się niektóre właściwości eksploatacyjne, takie jak odporność na pękanie czy stabilność wymiarowa. Ma to szczególne znaczenie w przypadku elementów precyzyjnych, gdzie nawet niewielkie odkształcenia mogą prowadzić do nieprawidłowego działania.

Wraz ze wzrostem temperatury dochodzi do intensyfikacji procesów zdrowienia, które obejmują reorganizację struktury dyslokacyjnej. Dyslokacje układają się w bardziej uporządkowane konfiguracje, tworząc tzw. podziarna. W tym stadium materiał zaczyna wykazywać częściowe przywrócenie właściwości sprzed odkształcenia, choć nadal zachowuje podwyższoną twardość i wytrzymałość. Jest to etap przejściowy pomiędzy odprężaniem a rekrystalizacją.

Dalsze zwiększanie temperatury prowadzi do rozpoczęcia procesu rekrystalizacji, który jest kluczowy dla całkowitego zaniku naprężeń wewnętrznych. W jego trakcie powstają nowe, wolne od naprężeń ziarna o regularnej strukturze krystalicznej. Proces ten przebiega poprzez zarodkowanie i wzrost nowych ziaren kosztem starej, odkształconej struktury. Rekrystalizacja powoduje wyraźne obniżenie twardości oraz wzrost plastyczności materiału, co jest szczególnie istotne w procesach technologicznych wymagających dalszej obróbki plastycznej.

Temperatura około 300°C, wskazana na rysunku, odpowiada właśnie zakresowi intensywnej rekrystalizacji dla mosiądzu, co tłumaczy całkowity zanik naprężeń niezależnie od ich początkowej wartości. Oznacza to, że materiał osiąga stan równowagi energetycznej, a jego struktura zostaje w pełni odnowiona. W praktyce przemysłowej temperatura ta stanowi istotny parametr przy projektowaniu procesów obróbki cieplnej, takich jak wyżarzanie odprężające czy wyżarzanie rekrystalizujące.

Należy jednak zauważyć, że przekroczenie optymalnego zakresu temperatur może prowadzić do niekorzystnych zjawisk, takich jak nadmierny rozrost ziaren. Zbyt duże ziarna powodują pogorszenie właściwości mechanicznych, w szczególności obniżenie wytrzymałości i odporności na zmęczenie materiału. Dlatego dobór temperatury oraz czasu wygrzewania musi być ściśle kontrolowany, aby uzyskać pożądane właściwości bez degradacji struktury.

Istotnym czynnikiem wpływającym na przebieg odprężania jest również czas utrzymywania materiału w podwyższonej temperaturze. Nawet przy temperaturze niższej od 300°C możliwe jest znaczne zmniejszenie naprężeń, jeśli czas wygrzewania jest odpowiednio długi. Z kolei w wyższych temperaturach procesy zachodzą szybciej, co pozwala skrócić czas obróbki, ale zwiększa ryzyko przegrzania materiału.

Warto także zwrócić uwagę na wpływ składu chemicznego mosiądzu na temperaturę i przebieg odprężania. Obecność dodatków stopowych może przesuwać zakres temperatur rekrystalizacji oraz zmieniać kinetykę procesów dyfuzyjnych. W praktyce oznacza to konieczność indywidualnego doboru parametrów obróbki cieplnej dla różnych gatunków stopów.

Zanik naprężeń wewnętrznych w zgniecionych materiałach jest procesem złożonym, zależnym od temperatury, czasu oraz struktury materiału. Analiza przedstawiona na rysunkach wskazuje jednoznacznie, że całkowite odprężenie mosiądzu

następuje w określonym zakresie temperatur, związanym z procesem rekrystalizacji. Zrozumienie tych zależności ma kluczowe znaczenie dla inżynierii materiałowej oraz technologii obróbki metali, umożliwiając świadome kształtowanie właściwości materiałów w zależności od ich przeznaczenia.

Należy również podkreślić, że proces zaniku naprężeń wewnętrznych nie przebiega jednorodnie w całej objętości materiału. W pierwszej kolejności redukcji ulegają naprężenia zgromadzone w obszarach o największej koncentracji odkształceń, takich jak granice ziaren, pasma poślizgu czy miejsca wcześniejszych niejednorodności strukturalnych. Powoduje to lokalne zmiany właściwości mechanicznych, które z czasem ulegają wyrównaniu w wyniku dalszego wygrzewania. W efekcie końcowym materiał osiąga bardziej jednorodny stan naprężenia, co przekłada się na poprawę jego właściwości użytkowych.

Istotnym aspektem jest również wpływ szybkości nagrzewania i chłodzenia na efektywność odprężania. Zbyt szybkie nagrzewanie może prowadzić do powstawania dodatkowych naprężeń termicznych, które częściowo niwelują efekt odprężania. Z kolei gwałtowne chłodzenie po procesie wygrzewania może ponownie wprowadzić naprężenia wynikające z różnic w skurczu objętościowym poszczególnych obszarów materiału. Dlatego w praktyce technologicznej często stosuje się kontrolowane cykle nagrzewania i powolnego chłodzenia, aby zapewnić maksymalną skuteczność procesu.

W przypadku cienkich taśm mosiężnych, takich jak przedstawione na rysunku 4.4, proces odprężania przebiega stosunkowo szybko ze względu na niewielką grubość materiału. Ułatwia to równomierne nagrzewanie całej objętości oraz sprzyja szybkiej dyfuzji atomów, która jest kluczowa dla zachodzących przemian strukturalnych. W grubszych elementach proces ten może wymagać znacznie dłuższego czasu lub zastosowania wyższych temperatur, aby osiągnąć podobny efekt.

Kolejnym czynnikiem mającym wpływ na zanik naprężeń jest stopień wcześniejszego odkształcenia plastycznego materiału. Im większe było odkształcenie, tym większa ilość energii została zgromadzona w strukturze, co z jednej strony przyspiesza procesy zdrowienia i rekrystalizacji, ale z drugiej może wymagać bardziej precyzyjnego doboru parametrów obróbki cieplnej. Materiały silnie zgniecione wykazują bowiem większą skłonność do gwałtownych zmian strukturalnych w określonym zakresie temperatur.

Warto również zwrócić uwagę na zależność pomiędzy zanikiem naprężeń a zmianą właściwości fizycznych, takich jak przewodność elektryczna czy cieplna. W miarę postępu odprężania i rekrystalizacji następuje uporządkowanie struktury krystalicznej, co sprzyja poprawie przewodnictwa. Zjawisko to ma znaczenie w zastosowaniach elektrotechnicznych, gdzie mosiądz wykorzystywany jest jako materiał przewodzący lub konstrukcyjny.

Nie bez znaczenia pozostaje także środowisko, w jakim prowadzony jest proces wyżarzania. Obecność tlenu może prowadzić do utleniania powierzchni materiału, co w niektórych przypadkach jest zjawiskiem niepożądanym. Dlatego w zastosowaniach przemysłowych często stosuje się atmosfery ochronne lub próżnię, które zapobiegają degradacji powierzchni i pozwalają zachować odpowiednią jakość wyrobu.

Rozpatrując przedstawione na rysunkach zależności, można zauważyć, że proces zaniku naprężeń ma charakter ciągły, jednak wyraźnie można wyróżnić jego etapy odpowiadające różnym mechanizmom fizycznym. Początkowy etap związany jest głównie z relaksacją naprężeń poprzez ruch dyslokacji, kolejny z reorganizacją struktury, a końcowy z pełną rekrystalizacją. Każdy z tych etapów ma inne znaczenie technologiczne i wpływa na końcowe właściwości materiału.

W praktyce inżynierskiej znajomość tych etapów pozwala na świadome sterowanie procesem obróbki cieplnej w celu uzyskania

określonych parametrów materiału. Na przykład w niektórych zastosowaniach dąży się jedynie do częściowego odprężenia bez utraty wytrzymałości, natomiast w innych konieczne jest całkowite usunięcie naprężeń i maksymalne zwiększenie plastyczności.

Ostatecznie należy stwierdzić, że przedstawiona analiza potwierdza kluczową rolę temperatury jako czynnika determinującego zanik naprężeń wewnętrznych. Jednocześnie jednak proces ten jest wynikiem współdziałania wielu parametrów, takich jak czas, historia odkształcenia, skład chemiczny oraz warunki prowadzenia obróbki cieplnej. Uwzględnienie wszystkich tych czynników jest niezbędne do prawidłowego projektowania procesów technologicznych oraz zapewnienia wysokiej jakości gotowych wyrobów.

Jeśli szukają Państwo pomocy w napisaniu własnej pracy - potrzebują Państwo fachowych konsultacji to polecamy stronę pisanie prac - profesjonalna pomoc w pisaniu prac w granicach prawa.

Standaryzacja sprzętu i pojazdów ratowniczych

Szerokie zastosowanie sprzętu ratowniczego przez służby ratownicze wymaga ustalenia jednolitych wymagań. Długoletnie doświadczenia zdobyte przez służby ratownicze pozwalają określić priorytety i kierunki rozwoju technicznego sprzętu.

W przypadku pojazdów samochodowych szybko postępująca globalizacja rynku prowadzi do tego, że we wszystkich krajach uprzemysłowionych znajdziemy pojazdy pożarnicze praktycznie z całego świata.

Z drugiej strony istniejący postęp techniczny pozwala na wytwarzanie coraz lepszych wyrobów pod względem szeroko rozumianych właściwości techniczno-eksploatacyjnych.

To wszystko powoduje, że zarówno samochodem pożarniczym jak i sprzętowi ratowniczemu należy stawiać wymagania adekwatne do poziomu techniki z jednoczesnym wprowadzeniem unifikacji. Ujednolicenie wymagań w zakresie parametrów technicznych, ukompletowania bezpieczeństwa obsługi, ergonomii jest korzystne dla wszystkich zainteresowanych stron: producenta, szczególnie wytwarzającego na rynki wielu krajów (m.in. zmniejszenie ilości odmian i wersji w danym typie), uzależnianych często od indywidualnych wymagań klienta, często formułowanych nieprecyzyjnie lub w sposób wręcz niemożliwy do realizacji, wprowadzenie unifikacji części i zespołów, użytkownika (m.in. praca sprzętem dostosowanym do specyficznych warunków eksploatacji i o wysokich walorach bezpieczeństwa, kompatybilność ze sprzętem wyprodukowanym przez różne firmy), zamawiającego wyrób (m.in. uproszczenie niektórych procedur przetargowych) oraz jednostek badawczych (m.in. znormalizowanie warunków badań w taki sposób, aby w każdym kraju Europy, ten sam badany parametr był identycznie określany).

Obecnie w Polsce brak jest wymagań normatywnych o zasięgu ogólnokrajowym, dotyczących sprzętu ratowniczego i samochodów pożarniczych.

Obecnie Komitet Techniczny CEN/TC 192 zajmujący się wyposażeniem dla straży pożarnej przygotował projekty norm, z których EN 1846-1:1998 Samochody pożarnicze – Arkusz 1. Podział i oznaczenia jest już ustanowiony jako norma europejska i jest najbliżej wprowadzenia i nadania statusu Polskiej Normy, która zastąpi normę PN-79/M-51300.

Projekt normy PrEN 13204 – „Hydrauliczne narzędzia ratownicze dwustronnego działania dla straży pożarnej i służb ratowniczych” zawiera klasyfikacje narzędzi, wymagania

dotyczące bezpieczeństwa, minimalne wymagania techniczno-eksploatacyjne oraz metody badań. Projekt wzoruje się na normach: niemieckiej i francuskiej.

Rozpieracze cylindryczne klasyfikowane są w zależności od maksymalnej siły rozpierającej oraz maksymalnego skoku tłoczyska.

Nożyce hydrauliczne charakteryzowane są przez podanie odpowiedniej kategorii (od A do H), która zależy od wydajności danego narzędzia. Każde narzędzie powinno być zdolne do wykonania w odpowiednim czasie 60 cięć różnych profili stalowych. Kształt i materiał profili jest podany w normie.

Projekt normy zawiera również wymagania dla pomp zasilających i osprzętu (węży, zwijadeł na węże).

Wprowadzenie i stosowanie norm europejskich w obliczu zbliżającego się wejścia Polski do Unii Europejskiej jest nieuniknione. Niezależnie od tempa ich wprowadzania, należy już teraz brać je za podstawę stanu techniki i stosować.

Istota standaryzacji w systemach ratowniczych

Standaryzacja sprzętu i pojazdów ratowniczych stanowi jeden z kluczowych filarów sprawnego funkcjonowania współczesnych systemów reagowania na zagrożenia. Jej znaczenie wynika z konieczności zapewnienia interoperacyjności pomiędzy różnymi podmiotami ratowniczymi, które w sytuacjach kryzysowych muszą działać wspólnie, często w warunkach presji czasu i wysokiego ryzyka. Brak jednolitych standardów prowadzi do chaosu organizacyjnego, utrudnia koordynację działań oraz zwiększa prawdopodobieństwo błędów operacyjnych.

W ujęciu systemowym standaryzacja nie oznacza jedynie ujednolicenia wyposażenia, lecz obejmuje także procedury użytkowania, zasady konserwacji oraz wymagania szkoleniowe. Sprzęt ratowniczy i pojazdy stanowią narzędzia realizacji określonych zadań, a ich skuteczność zależy nie tylko od

parametrów technicznych, lecz również od tego, czy użytkownicy są w stanie posługiwać się nimi w sposób intuicyjny i przewidywalny. Standaryzacja w tym sensie redukuje zmienność operacyjną, która mogłaby negatywnie wpływać na bezpieczeństwo działań.

Historycznie systemy ratownicze rozwijały się w sposób rozproszony, często na poziomie lokalnym lub regionalnym. Prowadziło to do sytuacji, w których poszczególne jednostki dysponowały sprzętem o zróżnicowanych parametrach, niekompatybilnym ze sobą pod względem technicznym i funkcjonalnym. Współczesne zagrożenia, takie jak katastrofy masowe, wypadki komunikacyjne o dużej skali czy zdarzenia o charakterze transgranicznym, ujawniły ograniczenia takiego podejścia.

Standaryzacja sprzętu i pojazdów ratowniczych wpisuje się także w szerszy kontekst zarządzania bezpieczeństwem publicznym. Umożliwia racjonalne planowanie zakupów, optymalizację kosztów eksploatacyjnych oraz uproszczenie logistyki. Jednolitość rozwiązań technicznych sprzyja również tworzeniu zapasów strategicznych oraz szybkiej wymianie sprzętu pomiędzy jednostkami w razie potrzeby.

Warto podkreślić, że standaryzacja nie jest procesem statycznym. Musi ona uwzględniać dynamiczny rozwój technologii oraz zmieniające się warunki operacyjne. Dlatego też system standardów powinien być elastyczny, oparty na analizie ryzyka i doświadczeniach z realnych działań ratowniczych, a nie wyłącznie na formalnych założeniach normatywnych.

Standaryzacja sprzętu ratowniczego jako warunek interoperacyjności

Sprzęt ratowniczy, obejmujący narzędzia hydrauliczne, aparaty ochrony dróg oddechowych, systemy łączności czy wyposażenie medyczne, musi spełniać określone wymagania techniczne i funkcjonalne, aby mógł być skutecznie wykorzystywany w

działaniach wielopodmiotowych. Standaryzacja w tym obszarze pozwala na zapewnienie kompatybilności zarówno na poziomie fizycznym, jak i proceduralnym. Oznacza to, że ratownicy z różnych jednostek mogą korzystać z tego samego sprzętu bez konieczności dodatkowego szkolenia lub adaptacji.

Jednym z kluczowych aspektów standaryzacji sprzętu ratowniczego jest ujednolicenie interfejsów użytkowych. Elementy sterujące, systemy mocowania czy sposoby podłączania źródeł zasilania powinny być zaprojektowane w sposób maksymalnie intuicyjny i spójny. W warunkach stresu i ograniczonej widoczności nawet niewielkie różnice konstrukcyjne mogą prowadzić do opóźnień lub błędów, których konsekwencje bywają poważne.

Standaryzacja wpływa również na bezpieczeństwo użytkowania sprzętu. Jednolite wymagania dotyczące wytrzymałości, odporności na warunki środowiskowe oraz zabezpieczeń technicznych minimalizują ryzyko awarii w trakcie działań. Dzięki temu możliwe jest opracowanie uniwersalnych procedur testowania i konserwacji, co przekłada się na wyższy poziom niezawodności całego systemu ratowniczego.

Z punktu widzenia organizacyjnego standaryzacja sprzętu ułatwia procesy szkoleniowe. Programy szkoleniowe mogą być projektowane w sposób jednolity, bez konieczności uwzględniania wielu wariantów sprzętowych. Ma to szczególne znaczenie w systemach opartych na dużej liczbie jednostek ochotniczych, gdzie czas i zasoby szkoleniowe są ograniczone.

Nie bez znaczenia pozostaje także aspekt ekonomiczny. Standaryzacja umożliwia realizację zakupów hurtowych oraz długoterminowych umów serwisowych, co obniża koszty jednostkowe i zwiększa przewidywalność wydatków. Jednocześnie ogranicza ryzyko uzależnienia od pojedynczych, niszowych rozwiązań technologicznych, które mogą okazać się trudne w utrzymaniu.

Standaryzacja pojazdów ratowniczych i jej znaczenie operacyjne

Pojazdy ratownicze stanowią mobilną platformę, na której opiera się funkcjonowanie większości służb ratowniczych. Standaryzacja w tym obszarze dotyczy zarówno konstrukcji pojazdów, jak i ich wyposażenia oraz układu funkcjonalnego. Jednolity podział przestrzeni ładunkowej, rozmieszczenie sprzętu oraz ergonomia stanowisk pracy wpływają bezpośrednio na szybkość i skuteczność działań.

Jednym z podstawowych celów standaryzacji pojazdów ratowniczych jest zapewnienie przewidywalności. Ratownik wchodzący do nieznanego pojazdu powinien być w stanie intuicyjnie odnaleźć potrzebny sprzęt i obsłużyć podstawowe systemy pojazdu. Taka przewidywalność jest szczególnie istotna w sytuacjach, gdy na miejscu zdarzenia współpracują jednostki z różnych regionów lub krajów.

Standaryzacja pojazdów ułatwia również planowanie taktyczne. Znajomość możliwości technicznych i wyposażenia poszczególnych typów pojazdów pozwala dowódcom na efektywne dysponowanie sił i środków. Jednolite standardy umożliwiają także tworzenie scenariuszy ćwiczeń i symulacji, które wiernie odzwierciedlają realne warunki operacyjne.

Aspekt techniczny standaryzacji pojazdów obejmuje również wymagania dotyczące niezawodności, bezpieczeństwa biernego i czynnego oraz odporności na warunki środowiskowe. Pojazdy ratownicze muszą być zdolne do pracy w trudnym terenie, przy zmiennych warunkach pogodowych oraz w sytuacjach długotrwałego obciążenia. Standaryzacja pozwala na określenie minimalnych parametrów, które gwarantują zdolność operacyjną pojazdów.

W kontekście eksploatacyjnym jednolite standardy upraszczają procesy serwisowe i logistyczne. Dostępność części zamiennych, kompatybilność systemów oraz możliwość korzystania z tych samych procedur obsługowych przekładają się na skrócenie czasu przestojów i zwiększenie gotowości operacyjnej floty

ratowniczej.

Wyzwania i perspektywy rozwoju standaryzacji

Mimo licznych korzyści standaryzacja sprzętu i pojazdów ratowniczych napotyka także istotne wyzwania. Jednym z nich jest konieczność pogodzenia jednolitości z potrzebą elastyczności. Różnorodność zagrożeń oraz specyfika lokalnych warunków sprawiają, że całkowite ujednolicenie rozwiązań nie zawsze jest możliwe ani pożądane. Standaryzacja musi zatem uwzględniać margines adaptacyjny.

Kolejnym wyzwaniem jest szybki postęp technologiczny. Nowe rozwiązania, takie jak systemy wspomagania decyzji, pojazdy elektryczne czy zaawansowana elektronika, pojawiają się szybciej, niż aktualizowane są normy i standardy. W efekcie istnieje ryzyko, że nadmiernie sztywne standardy będą hamować innowacyjność i wdrażanie nowoczesnych technologii.

Istotnym problemem pozostaje także aspekt finansowy. Proces standaryzacji często wiąże się z koniecznością wymiany istniejącego sprzętu i pojazdów, co generuje znaczne koszty. Decyzje w tym zakresie muszą być poprzedzone analizą długoterminowych korzyści oraz uwzględniać możliwości budżetowe systemu ratowniczego.

W perspektywie przyszłości standaryzacja będzie coraz częściej powiązana z cyfryzacją i integracją systemów informatycznych. Pojazdy i sprzęt ratowniczy staną się elementami sieciowego systemu zarządzania działaniami, co wymagać będzie nowych standardów w zakresie kompatybilności danych i cyberbezpieczeństwa. To z kolei rozszerzy pojęcie standaryzacji poza wymiar czysto techniczny.

Podsumowując, standaryzacja sprzętu i pojazdów ratowniczych jest procesem niezbędnym dla zapewnienia skuteczności, bezpieczeństwa i spójności działań ratowniczych. Jej prawidłowa realizacja wymaga podejścia systemowego, uwzględniającego zarówno aspekty techniczne, organizacyjne,

jak i ekonomiczne. Jeżeli chcesz, mogę przygotować kolejny artykuł, na przykład poświęcony standaryzacji w międzynarodowych systemach ratowniczych albo analizie konkretnych norm i wytycznych stosowanych w praktyce.

Literatura

1. **Poradnik mechanika** – praca zbiorowa. „Podstawy konstrukcji maszyn”
2. **„Mechanika techniczna”** Władysław Siuta
3. **„Maszyny i urządzenia”** Zbigniew Jaworski, Emanuel Jurczak.
4. Materiały techniczne firm Holmatro, Lucas, Veber Hydraulik, Atlas Copco, Partner.
5. Baszta T. M. **„Hydraulika w budowie maszyn”.**
6. Gosztowtt L. **„Prasy hydrauliczne”.**
7. **Informator techniczny Hydrauliki Siłowej „PZL – HYDRAL”.**
8. Katalog SWW 0876 **„Typowe elementy hydrauliki siłowej”.**
9. **Sympozjum ratownictwa drogowego i medycznego.** Częstochowa 9-10 grudzień 1999 rok.
10. **Przeglądy pożarnicze**.

Jeśli szukają Państwo pomocy w napisaniu własnej pracy - potrzebują Państwo fachowych konsultacji to polecamy stronę pisanie prac - profesjonalna pomoc w pisaniu prac w granicach prawa.

Hydrauliczne narzędzia ratownicze

Hydrauliczne narzędzia ratownicze jako element systemu bezpieczeństwa technicznego

Hydrauliczne narzędzia ratownicze stanowią jeden z kluczowych

komponentów współczesnych systemów reagowania kryzysowego, w szczególności w działaniach prowadzonych przez jednostki ratownictwa technicznego, straż pożarną oraz wyspecjalizowane służby ratunkowe. Ich znaczenie wynika z możliwości generowania bardzo dużych sił przy jednoczesnym zachowaniu wysokiej precyzji działania, co jest niezbędne w sytuacjach zagrożenia życia i zdrowia ludzi. Narzędzia te pozwalają na skuteczne ingerowanie w konstrukcje metalowe, betonowe oraz kompozytowe, które w warunkach awaryjnych stają się barierą utrudniającą dostęp do poszkodowanych.

Rozwój hydraulicznych narzędzi ratowniczych jest ściśle powiązany z postępem technologicznym w zakresie hydrauliki siłowej. Zastosowanie cieczy roboczej jako medium przenoszącego energię umożliwia uzyskanie znacznych nacisków przy relatywnie niewielkich rozmiarach urządzeń. Dzięki temu narzędzia ratownicze mogą być stosowane w ograniczonych przestrzeniach, takich jak wnętrza pojazdów, zawalone budynki czy infrastruktura przemysłowa. To właśnie ta cecha decyduje o ich przewadze nad rozwiązaniami mechanicznymi lub pneumatycznymi.

Hydrauliczne narzędzia ratownicze pełnią szczególną rolę w kontekście wypadków komunikacyjnych, które stanowią jedną z głównych przyczyn interwencji ratowniczych. Deformacja konstrukcji pojazdu, zakleszczenie osób oraz obecność elementów o wysokiej wytrzymałości materiałowej wymagają zastosowania narzędzi zdolnych do kontrolowanego rozcinania, rozpierania lub podnoszenia. Hydraulika umożliwia realizację tych zadań przy minimalizacji dodatkowych zagrożeń dla poszkodowanych.

Istotnym aspektem wykorzystania hydraulicznych narzędzi ratowniczych jest ich integracja z procedurami bezpieczeństwa. Narzędzia te nie funkcjonują w oderwaniu od zasad taktyki ratowniczej, lecz są elementem szerszego systemu działań, obejmującego ocenę ryzyka, stabilizację miejsca zdarzenia oraz koordynację pracy zespołów. W tym sensie narzędzia

hydrauliczne są nie tylko urządzeniami technicznymi, ale także instrumentami realizacji określonej filozofii ratownictwa.

Współczesne standardy bezpieczeństwa oraz normy techniczne stawiają przed producentami i użytkownikami hydraulicznych narzędzi ratowniczych wysokie wymagania dotyczące niezawodności, ergonomii oraz kompatybilności systemowej. Narzędzia te muszą działać w ekstremalnych warunkach środowiskowych, przy zmiennych temperaturach, dużej wilgotności oraz obecności zanieczyszczeń. Ich konstrukcja stanowi zatem efekt kompromisu pomiędzy maksymalną wydajnością a trwałością i bezpieczeństwem użytkowania.

Budowa i zasada działania hydraulicznych narzędzi ratowniczych

Podstawą funkcjonowania hydraulicznych narzędzi ratowniczych jest układ hydrauliczny, składający się z pompy, przewodów wysokociśnieniowych, zaworów sterujących oraz siłowników roboczych. Ciecz hydrauliczna, najczęściej olej o specjalnych właściwościach, przenosi energię z pompy do elementu wykonawczego, gdzie następuje jej zamiana na pracę mechaniczną. Zasada ta opiera się na prawie Pascala, zgodnie z którym ciśnienie wywierane na ciecz w zamkniętym układzie rozchodzi się równomiernie we wszystkich kierunkach.

Konstrukcja narzędzi ratowniczych uwzględnia konieczność generowania bardzo dużych sił przy zachowaniu precyzyjnej kontroli ruchu. Siłowniki hydrauliczne są projektowane w taki sposób, aby umożliwiały płynne rozpieranie, cięcie lub podnoszenie, bez gwałtownych szarpnięć. Ma to kluczowe znaczenie w sytuacjach, gdy niewielki błąd może prowadzić do pogorszenia stanu poszkodowanego lub destabilizacji konstrukcji.

Ważnym elementem budowy jest także system sterowania, który pozwala ratownikowi na intuicyjne i bezpieczne operowanie narzędziem. Nowoczesne rozwiązania obejmują zawory proporcjonalne, zabezpieczenia przeciążeniowe oraz mechanizmy

automatycznego odciążania układu po zakończeniu pracy. Dzięki temu ryzyko awarii lub niekontrolowanego ruchu narzędzia zostaje znacząco ograniczone.

Materiały stosowane w konstrukcji hydraulicznych narzędzi ratowniczych muszą charakteryzować się wysoką wytrzymałością mechaniczną oraz odpornością na zmęczenie materiału. Stal stopowa, aluminium lotnicze oraz nowoczesne kompozyty pozwalają na zmniejszenie masy urządzeń bez utraty ich parametrów użytkowych. Redukcja masy ma istotne znaczenie dla ergonomii pracy ratowników, którzy często operują narzędziami w trudnych warunkach terenowych.

Zasada działania hydraulicznych narzędzi ratowniczych pozostaje niezmienna od wielu lat, jednak jej praktyczna realizacja podlega ciągłym udoskonaleniom. Postęp w dziedzinie uszczelnień, cieczy roboczych oraz technologii obróbki materiałów sprawia, że współczesne narzędzia są bardziej niezawodne, cichsze i łatwiejsze w konserwacji niż ich wcześniejsze odpowiedniki.

Zastosowanie hydraulicznych narzędzi ratowniczych w praktyce operacyjnej

Praktyczne zastosowanie hydraulicznych narzędzi ratowniczych obejmuje szerokie spektrum działań, od ratownictwa drogowego po interwencje w obiektach przemysłowych i budowlanych. Najczęściej kojarzone są one z działaniami polegającymi na uwalnianiu osób zakleszczonych w pojazdach po wypadkach komunikacyjnych. W takich sytuacjach narzędzia hydrauliczne umożliwiają szybkie i kontrolowane usunięcie elementów karoserii, drzwi, słupków czy dachu pojazdu.

W ratownictwie budowlanym hydrauliczne narzędzia znajdują zastosowanie podczas katastrof konstrukcyjnych, takich jak zawalenia budynków czy osunięcia gruntu. Możliwość podnoszenia ciężkich elementów betonowych lub stalowych przy jednoczesnym zachowaniu precyzji pozwala na tworzenie przestrzeni

ratunkowych bez ryzyka wtórnych zawałów. Działania te wymagają ścisłej współpracy z zespołami zabezpieczającymi konstrukcję oraz monitorującymi jej stabilność.

Hydrauliczne narzędzia ratownicze są również wykorzystywane w sytuacjach związanych z przemysłem ciężkim, gdzie awarie maszyn lub instalacji mogą prowadzić do uwięzienia pracowników. W takich przypadkach narzędzia te umożliwiają ingerencję w konstrukcje o bardzo wysokiej wytrzymałości, często wykonane z hartowanych stopów metali. Precyzyjne działanie hydrauliki pozwala na ograniczenie szkód oraz skrócenie czasu akcji ratowniczej.

Istotnym aspektem praktycznego zastosowania jest szkolenie personelu ratowniczego. Obsługa hydraulicznych narzędzi ratowniczych wymaga nie tylko znajomości ich budowy, lecz także umiejętności oceny sytuacji oraz przewidywania skutków podejmowanych działań. Błędy operacyjne mogą prowadzić do poważnych konsekwencji, dlatego procedury szkoleniowe kładą nacisk na symulacje oraz ćwiczenia w warunkach zbliżonych do rzeczywistych.

W praktyce operacyjnej coraz większe znaczenie ma również mobilność i szybkość gotowości narzędzi do użycia. Nowoczesne systemy hydrauliczne często są zintegrowane w kompaktowe zestawy, umożliwiające szybkie rozwinięcie sprzętu na miejscu zdarzenia. Skrócenie czasu od przybycia jednostki ratowniczej do rozpoczęcia działań może mieć bezpośredni wpływ na przeżywalność poszkodowanych.

Kierunki rozwoju i wyzwania związane z hydraulicznymi narzędziami ratowniczymi

Rozwój hydraulicznych narzędzi ratowniczych koncentruje się obecnie na zwiększaniu ich efektywności przy jednoczesnym podnoszeniu poziomu bezpieczeństwa użytkowania. Jednym z istotnych kierunków jest integracja hydrauliki z napędami elektrycznymi, co pozwala na eliminację zewnętrznych agregatów

spalinowych. Rozwiązania te zmniejszają emisję hałasu i spalin, co ma szczególne znaczenie w działaniach prowadzonych w zamkniętych przestrzeniach.

Wyzwania technologiczne obejmują również dostosowanie narzędzi do zmieniających się konstrukcji pojazdów i budynków. Nowoczesne materiały, takie jak stale borowe czy kompozyty wielowarstwowe, wymagają stosowania narzędzi o większej sile i odporności na zużycie. Projektanci narzędzi muszą zatem nieustannie reagować na ewolucję technologii stosowanych w przemyśle.

Kolejnym obszarem rozwoju jest ergonomia i bezpieczeństwo operatora. Redukcja drgań, poprawa wyważenia oraz intuicyjne interfejsy sterowania wpływają na zmniejszenie zmęczenia ratowników i ryzyka urazów. W dłuższej perspektywie przekłada się to na większą skuteczność działań ratowniczych oraz lepsze warunki pracy służb.

Nie można pominąć także aspektów prawnych i normatywnych związanych z użytkowaniem hydraulicznych narzędzi ratowniczych. Certyfikacja, regularne przeglądy techniczne oraz zgodność z normami bezpieczeństwa stanowią istotny element systemu zapewnienia jakości. Niedopełnienie tych wymogów może prowadzić nie tylko do awarii sprzętu, lecz także do odpowiedzialności prawnej użytkowników i instytucji.

Używanie narzędzi różnych marek

Hydrauliczne narzędzia ratownicze są szeroko oferowane jako kompletne systemy. Wynika to z ich charakteru i dokładności pasowania elementów. Podstawowym elementem jest bezpieczeństwo dla użytkowników. Producenci zapewniają bezpieczeństwo ich systemów tylko wtedy, gdy elementy są używane razem zgodnie z założeniami.

Główni producenci narzędzi ratowniczych oddają swoje narzędzia instytucjom, testującym celem uzyskania od nich certyfikatu

dopuszczenia do pracy. We wszystkich tych przypadkach, testowany sprzęt jest dostarczony ze wszystkimi niezbędnymi elementami przez jednego producenta.

Certyfikaty zawsze wymieniają elementy zestawów.

Firmy zajmujące się produkcją narzędzi hydraulicznych nie zalecają by systemy ratownicze składały się z różnych marek. Takie kombinacje mogą być opracowywane tylko przez ekspertów, którzy znają wszystkie typowe wymagania systemów narzędzi. Poza kwestiami bezpieczeństwa istnieje wiele różnic technicznych, które muszą być wzięte pod uwagę. Narzędzia różnych marek mogą być projektowane na różne współczynniki bezpieczeństwa, które mogą okazać się bezskuteczne w połączeniu ze sobą.

Ponadto prawo europejskie nie zezwala na pracę systemów narzędzi hydraulicznych składających się z różnych marek, nie spełniających wymagań „Machine Direktive”.

Jeśli szukają Państwo pomocy w napisaniu własnej pracy - potrzebują Państwo fachowych konsultacji to polecamy stronę pisanie prac - profesjonalna pomoc w pisaniu prac w granicach prawa.